

MINERAIS DO PARANÁ S.A. - MINEROPAR

PROJETO NAGIB SILVA

ETAPA DE SEMIDETALHE

VOLUME 1

RELATÓRIO FINAL

DICLÉCIO FALCADE

CURITIBA

MAR/1986

BIBLIOTÉCA

SECRETARIA DA INDÚSTRIA E COMÉRCIO DO ESTADO DO PARANÁ

MINERAIS DO PARANÁ S/A - MINEROPAR

PROJETO NAGIB SILVA
ETAPA DE SEMIDETALHE

Volume I

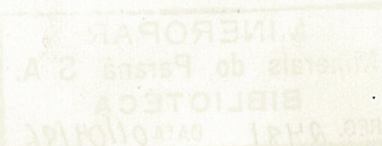
Relatório Final - Texto e Anexos

Diclecio Falcade

Gerência de Operações - Programa Capivari-Pardo

Curitiba
MAR/86

M
549
(816.22)
F178
n.t



BIBLIOTECA

SECRETARIA DA INDÚSTRIA E COMÉRCIO DO ESTADO DO PARANÁ

MINERAIS DO PARANÁ S.A - MINEROPAR

PROJETO MAGIB SLAVA

ESTUDO DE SEMIDETALHE

Volume I

Relatório Final - Texto e Anexos

Dicionário Estadual

Registro n. 2481



Biblioteca/Mineropar

Getúlio Vargas - Rodovia Presidente Dutra - Rio das Ostras - RJ

Curitiba
Paraná

MINEROPAR
Minerais do Paraná S.A.
BIBLIOTECA
REG. 2481 DATA 01/04/86

PROJETO NAGIB SILVA ETAPA DE SEMIDETALHE

RELATÓRIO FINAL

ÍNDICE DOS VOLUMES

Volume I

TEXTO PRINCIPAL - Introdução, Metodologia dos Trabalhos, Resultados Obtidos, Conclusões, Recomendações, Referências Bibliográficas e Anexos

Volume II

ANEXOS - Tabelas e Mapas Relacionados à Prospecção Geoquímica

ÍNDICE - VOLUME I

1 - Introdução	01
1.1 - Apresentação	01
1.2 - Metas e Objetivos	01
1.3 - Pessoal Envolvido	02
1.4 - Localização e Acesso	02
1.5 - Aspectos Fisiográficos	03
1.6 - Situação Legal	03
1.7 - Trabalhos Anteriores	03
1.8 - Dados Físicos de Produção	05
2 - Metodologia dos Trabalhos	05
2.1 - Levantamento de Dados Geológicos	05
2.2 - Levantamento de Dados Geoquímicos	06
2.3 - Levantamento de Dados e Análise Estrutural	06
3 - Resultados Obtidos	07
3.1 - Nota Explicativa Sobre Aspectos Geológicos	07
3.1.1 - Generalidades	07
3.1.2 - Unidades Definidas	07
3.1.3 - Geologia Estrutural	15
3.1.3.1 - Introdução	15
3.2 - Nota Explicativa Sobre Aspectos Geoquímicos ...	16
3.3 - Geologia Econômica	16
3.3.1 - Generalidades	16
3.3.2 - Análise Química de Rochas	19
3.3.3 - Ocorrências Minerais	21
3.3.4 - Aspectos Litológicos/Estruturais	21
3.3.5 - Modelo de Mineralização	22
3.3.6 - Alvos Selecionados para Prospecção de Detalhe	22

4 - Conclusões 23

5 - Recomendações 25

Referências Bibliográficas

Anexos do Volume I

- 01 - Relatório Sobre Análise Estrutural, elaborado pelo Geólogo Paulo Cesar Soares
- 02 - Fichas de Descrição Micropetrográficas
- 03 - Resultados de Análise Química em Rochas
- 04 - Mapa de Pontos Geológicos Esc. 1:25.000
- 05 - Mapa Geológico Esc. 1:10.000 (1 e 2)
- 06 - Mapa de Integração das Bacias Anômalas Esc. 1:25.000

1 - INTRODUÇÃO

1.1 - Apresentação

Neste relatório é apresentada uma síntese da fase de prospecção de semidetalhe do projeto denominado de NA GIB SILVA. Esta fase de prospecção mineral foi realizada com recursos humanos e materiais da Empresa Minerais do Paraná S/A - MINEROPAR.

A etapa atual dos trabalhos é posterior à fase de verificação de anomalias geoquímicas, e constou de mapeamento geológico, amostragem geoquímica de detalhe e análise estrutural. Estes trabalhos visaram a restrição de alvos favoráveis à concentrações minerais, principalmente de Pb, Zn, Co, Mo, Cu e F.

Estão registrados neste relatório todos os dados e conclusões obtidos.

1.2 - Metas e Objetivos

A meta sempre visada em trabalhos de prospecção mineral é a descoberta de depósitos minerais economicamente explotáveis. Na área referente ao Projeto Nagib Silva, em todas as fases anteriores houveram indicações positivas para a ocorrência de mineralizações de Pb, Zn, Fe e Cu, tanto em trabalhos geoquímicos quanto em trabalhos geológicos.

Os objetivos desta fase de pesquisa foram:

1) Restringir uma área pré-selecionada, tida como potencial, através de trabalhos geológicos e geoquímicos.

2) Avaliar as potencialidades de eventuais alvos a serem selecionados, visando obter sucesso, caso se decida pela continuidade dos trabalhos.

1.3 - Pessoal Envolvido

A responsabilidade da execução da etapa de semi-detalhe foi do Projeto Nagib Silva, Programa Capivari-Pardo, integrante da Gerência de Operações da Mineropar.

Os serviços geológicos, incluindo perfilagem de campo, integração de dados e elaboração desse relatório foram executados pelo Geólogo Diclecio Falcade. O geólogo João Carlos Biondi também participou da execução de alguns perfis de campo, bem como em orientações técnicas.

Os serviços relacionados a interpretação geoquímica ficaram a cargo do Geólogo Otavio Augusto Boni Licht. A amostragem e manipulação dos dados geoquímicos foram executados pelo Prospector Manoel de Cristo, auxiliado pelas equipes de serventes de campo.

Os serviços de micropetrografia ficaram sob a responsabilidade da Geóloga Rosa Maria de Souza.

A análise estrutural da área do projeto foi feita pelo Geólogo consultor Dr. Paulo Cesar Soares. Participou também com orientações técnicas esporádicas, o Geólogo Oswaldo Fritzsons Júnior.

1.4 - Localização e Acesso

A área trabalhada situa-se na região nordeste do Estado do Paraná, abrangendo uma área de aproximadamente 56 km². Pode ser delimitada pelas coordenadas quilométricas 7.235 a 7.252 km N e 729 a 748 km W, correspondendo assim à carta SG-22-X-B-V-4. (APIAÍ - 1:100.000). Dista de Curitiba a proximadamente 120 km, englobando as localidades de Indaiatuba, Nagib Silva e Pimentas, município de Adrianópolis.

O acesso à área a partir de Curitiba faz-se tomando a BR-116, até a localidade de Rio Vermelho, onde toma-se a antiga estrada que vai à Barra do Turvo, passando por Indaiatuba. O acesso aos recantos interiores da área é feito por estradas secundárias e caminhos.

1.5 - Aspectos Fisiográficos

A região como um todo faz parte da bacia do Rio Pardo, mais precisamente a área trabalhada compreende o divisor entre os Rio Pimentas e Uberaba. Destacam-se ainda, os Rio Putunã e São Miguel, afluentes do Rio Uberaba, além de outros menores.

O relevo é extremamente acidentado, as drenagens são encaixadas, apresentando fortes gradientes, os vales são profundos e encaixados.

A região é praticamente despovoada, quase toda coberta por reflorestamento de pinus. Os poucos habitantes residem próximos às margens do Rio das Pimentas.

1.6 - Situação Legal

A área trabalhada está totalmente requerida pela Empresa Minerais do Paraná S/A - MINEROPAR. A cobertura é feita através de dez áreas, com os seguintes processos e respectivos alvarás:

DNPM	-	820.596/81	-	2.086
DNPM	-	820.599/81	-	3.213
DNPM	-	820.601/81	-	5.175
DNPM	-	820.336/84	-	4.489
DNPM	-	820.337/84	-	5.444
DNPM	-	820.338/84	-	4.503
DNPM	-	820.339/84	-	4.493
DNPM	-	820.340/84	-	5.025
DNPM	-	820.341/84	-	4.502
DNPM	-	820.342/84	-	4.501

1.7 - Trabalhos Anteriores

Os trabalhos até agora realizados na área, constaram de diversas etapas, e estão listados a seguir:

1) Reconhecimento Geológico Regional da Área Capivari-Pardo: foi desenvolvido entre julho de 1980 e julho de 1982 (dois anos) com o objetivo de aprimorar o conhecimento geológico visando a seleção de grandes unidades para a prospecção mineral.

A área trabalhada foi de 2.080 km². Os trabalhos encerram-se com a elaboração do relatório: "Geologia e Potencial Econômico da Área Capivari-Pardo". Nessa fase a área atualmente em questão representava 2% da área total. Nessa fase foi reconhecido o corpo granítico "Nagib Silva", contendo microfraturas com mineralizações a galena e fluorita.

2) Reconhecimento Geoquímico Regional: foi desenvolvido entre janeiro de 1982 a novembro de 1983 (1,9 anos) com o objetivo de selecionar alvos a serem prospectados. Trabalhou-se cerca de 1.300 km² da área Capivari-Pardo, com amostragem de sedimento de corrente e concentrado de bateia. Os trabalhos encerram-se em novembro de 1983 com a elaboração de mapas geoquímicos interpretados pelo Geólogo Maurício Moacyr Ramos. Para a área foram definidas anomalias geoquímicas de Cu, Pb, Zn, Mo, Co e F.

3) Verificação de Anomalias Geoquímicas: foi desenvolvida de novembro de 1983 a fevereiro de 1985 (1,3 anos) com o objetivo de selecionar alvos para a prospecção mineral de semidetalhe. No total foram trabalhados cerca de 430 km² na área Capivari-Pardo. Os trabalhos envolveram mapeamento geológico, geoquímica estratégica, síntese e análise global dos dados. Esta etapa resultou no relatório "Verificação de Anomalias Geoquímicas nas Áreas Capiyari-Pardo e Antiforme do Setuya". Nessa fase foram identificadas algumas ocorrências de galena em rochas hidrotermalizadas, associadas ao granito Nagib Silva e rochas do Complexo Pré-Setuya. Na fase de priorização de projetos, optou-se pela continuidade de trabalhos na área, devido aos resultados obtidos até então, e a aplicabilidade de modelos hidrotermais para metais-base relacionados a grandes lineamentos com granitogênese.

1.8 - Dados Físicos de Produção

Esta etapa iniciou-se em julho de 1985, encerrando-se com a elaboração deste relatório.

Os dados físicos de produção são os seguintes:

1) Serviços Geológicos

- | | | |
|----|--|--------------------|
| a) | Área mapeada na escala 1:10.000 | 50 km ² |
| b) | Pontos geológicos descritos | 120 |
| c) | Medidas estruturais obtidas | 600 |
| d) | Amostras coletadas | 30 |
| e) | Amostras encaminhadas para descrição micropetrográfica | 15 |
| f) | Amostras encaminhadas para análises químicas | 3 |

2) Serviços Geoquímicos

- | | | |
|----|---|---------------------------------------|
| a) | Amostragem de sedimento de corrente | 781 amostras |
| b) | Análises químicas de sedimento de corrente para Cu, Pb, Zn, Mo, Co, F | 533 amostras
(3.198) determinações |

2 - METODOLOGIA DOS TRABALHOS

Os trabalhos desta fase de semidetalhe correspondem a etapas:

- Levantamento de Dados Geológicos
- Levantamento de Dados Geoquímicos
- Levantamento de Dados e Análise Estrutural

2.1 - Levantamento de Dados Geológicos

Os trabalhos iniciaram-se com uma nova fotointerpretAÇÃO e posteriormente a programação da perfilação geológica, de modo a homogeneizar a área com os perfis geológicos.

cos já existentes. Com a realização da perfilagem geológica houve uma preferência, pelo detalhamento dos afloramentos na região onde já se conheciam algumas ocorrências minerais. Foram coletadas amostras e enviadas para petrografia e análises químicas, cujos resultados estão em anexo.

Com os novos dados de campo procedeu-se uma fotointerpretação final em escala 1:25.000, que permitiu assim a elaboração de um esboço geológico. Nesse esboço estão plotados também os traços de fraturas e os principais lineamentos da área.

Todas as informações obtidas nesta etapa e etapas anteriores foram analisadas e estão contidas neste relatório, de modo a servir como um banco de dados relativo a esse projeto.

2.2 - Levantamento de Dados Geoquímicos

Nessa fase decidiu-se dar uma maior importância para a faixa central da área, onde concentram-se num feixe de lineamentos tectônicos, o corpo granítóide de onde também são conhecidas algumas ocorrências minerais. Nessa porção procedeu-se a coleta de uma amostra de sedimento de corrente a cada 100 metros, medidos com corda. Externamente a essa faixa, os pontos de coleta de amostras foram distribuídos com espacamento aproximado de 250 metros. A amostragem geoquímica ficou prejudicada devido a época de sua realização coincidir com um longo período de estiagem.

A amostragem foi controlada e conduzida segundo as normas do Setor de Geoquímica da Empresa, que prescreve uma descrição sumária da amostra e do sítio de amostragem, bem como os critérios de controles analíticos e da amostragem.

2.3 - Levantamento de Dados e Análise Estrutural

Para se proceder a análise estrutural da área foram tomadas 600 medidas estruturais, observando os seguintes detalhes: atitude, tipo, regularidade dos planos medidos,

repetição, preenchimento, conjugação, densidade e rejeito. Esas medidas foram lançadas em diagrama Schmidt-Lambert para melhor visualização dos aspectos estruturais da área.

De posse desses diagramas foi possível ao Geólogo Paulo Cesar Soares proceder a análise estrutural da área, cujas conclusões fazem parte do capítulo versando sobre Geologia Estrutural.

3 - RESULTADOS OBTIDOS

3.1 - Nota Explicativa Sobre Aspectos Geológicos

3.1.1 - Generalidades

A área do Projeto Nagib Silva constitui-se de rochas relacionadas às seguintes unidades geológicas: Coberturas Aluvionares, "Granito Nagib Silya", Seqüência Turyo-Cajati, Seqüência Filonítica, Seqüência "Cataclástica Uberaba", Seqüência Turyo-Areado, Complexo Pré-Setuba e Embasamento Cristalino. Essa diversidade de unidades deve-se principalmente a existência de zona de falhamentos que seccionaram as rochas da área e promoveram também a origem de tipos cataclásticos.

Os trabalhos de geologia desenvolvidos nesta fase serviram para melhor definir os contatos entre as unidades, não trazendo nenhuma mudança radical em um esboço geológico pré-existente.

3.1.2 - Unidades Definidas

a) Coberturas Aluvionares: os aluvíões geralmente são de dimensões reduzidas, de ocorrência esporádica, localizados nos valões dos principais rios como o Pardo, Uberaba e Pimentas.

b) Granito "Nagib Silva" e Corpos de Igneas A-cidas Hipoabissais: o corpo granítico "Nagib Silva" ocupa a porção central da área, apresentando-se com forma alongada no sentido NE-SW. É composto por rochas de estrutura maciça, textura granoblástica, equigranulares e porfiríticas, leucocráticas com tendência alasquítica, cor rósea a avermelhada. A granulação é fina nas bordas e grosseira no centro do corpo.

Macroscopicamente são observados fenômenos de silicificação, cloritização e epidotização, localmente são detectadas mineralizações de pirita, galena e fluorita (GP-1813).

Algumas descrições micropetrográficas (GP-1935, 1937, 1983), revelaram ser um álcali-granito cataclasado, composto por feldspato K, quartzo, plagioclásio, sericita, fluorita, clorita, titanita, magnetita, hornblenda, zircão e sulfetos. Trata-se de rocha de composição granítica afetada por esforços de tensão e hidrotermalismo. O processo hidrotermal está associado à cataclase e é evidenciado pela formação de sericita, fluorita, clorita e opacos ao longo das microfraturas. Dentro do corpo foram descritas passagens pouco espessas de biotita-xistos e filonitos.

O corpo granítico está em contato tectônico-estrutural com o Complexo Cristalino, Seqüência Turvo-Cajati, é intrusivo no Complexo Pré-Setuya.

Foram identificados diversos corpos granítoides hipoabissais. São corpos de rochas maciças, raramente fracturadas, textura porfirítica, inequigranulares com matriz de granulação fina, aspecto vítreo com macrocristais de quartzo por vezes bipiramidais e de feldspatos. São rochas praticamente isentas de minerais maficos, por vezes ricas em pirita. No ponto DF-963 foi descrito um granodiorito cataclasado, composto por plagioclásio, quartzo, feldspato alcalino, biotita, clorita, epidoto, sericita, titanita, apatita e opacos. Os corpos hipoabissais são no geral diques de granítoides em espessuras da ordem de 10 metros, e se distribuem por quase todas as unidades.

c) Seqüência Turvo-Cajati: essa seqüência aflora na porção sul-sudeste da área, ao sul da região da falha Putunã. É constituída por mica-xistos, quartzitos, mármores e esporadicamente hornfels. Ocorrem freqüentes transições entre esses tipos litológicos. Predominam nessa unidade as rochas xistosas, por vezes feldspá^{ticas}, que quando frescas exibem uma textura granolepidoblástica, estrutura xistosa, cor cinza-prateada, granulação média e as micas bem desenvolvidas nos planos de xistosidade. Quando alteradas assumem um aspecto terroso com cor amarronada. Algumas dessas rochas foram descriptas a descrições micropetrográficas (DF-366, DF-2028, DF-890), tratam-se de granada-clorita-muscovita-biotita, quartzo xistos, compostos por granada, clorita, muscovita, quartzo, biotita, feldspato, sericita, zircão e opacos.

Tratam-se de rochas de origem pelítica, submetida a um metamorfismo regional de grau fraco, zona de granada, retrometamorfizada e com um metamorfismo dinâmico incipiente associado à hidrotermalismo. Foi possível também identificar a presença de faixas com recristalização de quartzo e microdobras.

Intercalados aos xistos, ocorrem localmente estratos lenticulares de quartzitos (Pto. OF-894), com espessuras até decamétricas. São quartzitos impuros, cores acinzentadas, granulação fina a média, recristalizado de aspecto silexítico.

Ocorrem também em alguns pontos (DF-386 e 387) mármores calcíticos. São rochas de estrutura maciça, textura granoblástica, granulação grosseira, cor esbranquiçada e apresentam efervescência quando atacados por HCl.

Foi definida também nessa seqüência, um hornblendita-hornfels (Pto. OF-893), composto por quartzo, hornblendita, granada, biotita, cordierita, clorita, carbonato, zoizita, zircão e opacos. Trata-se de uma rocha de possível origem pelítica afetada por metamorfismo de contacto, fácies hornblendita-hornfels.

Em resumo, salvo raras excessões, esta seqüência é constituída por rochas de origem pelítica afetada por metamorfismo regional de grau fraco a médio, e posteriormente

retrometamorfisadas.

Os contatos dessa unidade com o Embasamento Cristalino e Seqüência Cataclástica Uberaba são marcados por forte discordância estrutural não sabendo-se por ora se seria erosiva ou tectônica. Os contatos com o Granito Nagib Silva são por falhamentos.

d) Seqüência Filonítica: esta faixa anteriormente tinha sido definida como pertencente ao Grupo Setuva. Com os trabalhos desenvolvidos nesta etapa, resolveu-se redefiní-la como sendo uma unidade composta por rocha intensamente cataclasada de aspecto filonítico.

Esta porção aflora na parte sudoeste da área, como duas faixas paralelas ao lineamento Putunã. São compostas principalmente por rochas xistosas com textura granolepidoblastica cataclástica, cor cinza-escuro, apresentando segregações de quartzo tipo boudinado, por vezes concordante com a xistosidade. Ocorrem variações nos teores de sílica, às vezes tornando-se um sericita-quartzo-xisto.

No ponto DF-313 foi coletada uma amostra e submetida a descrição micropetrográfica que resultou em milonito, com a seguinte composição: quartzo, albite, biotita, muscovita, clorita, carbonato, turmalina e opacos. Sua textura é granoblástica cataclasada, mostrando eventos de um metamorfismo dinâmico e regional.

Em outro perfil nessa faixa foram seccionados biotita-quartzo-xistos filoníticos por mais de 800 metros.

Foi descrito um dique de lamprófiro com espessura média de 10 metros e direção N50°W. A rocha (JC-304) mostrou-se composta por plagioclásio, clinopiroxênio, biotita titanífera, carbonato, apatita, titanita, anfibólito ?, pseudo-morfo de olivina alterados para serpentina e opacos; trata-se de uma rocha ultramáfica.

Estas faixas de xistos filoníticos estão inseridas nos gnaisses do Complexo Pré-Setuva.

e) Seqüência Cataclástica Uberaba: esta seqüência ocupa a porção central-nordeste da área do projeto. É composta principalmente por milonitos, ultramilonitos e cataclitos predominantemente quartzo-feldspáticos com intenso hidrotermalismo. Esporadicamente ocorrem algumas passagens para rochas gnáissicas. Essas rochas quando submetidas a análises químicas revelaram os mais significativos teores de Pb, Zn e F da área trabalhada. Foram feitas diversas lâminas delgadas de rochas dessa unidade que foram submetidas à descrição micropetrográfica, resultado em milonitos (Ptos DF-416, OF-891 e OF-899). Apresentaram a seguinte composição média: plagioclásio, quartzo, epidoto, clorita, calcita, biotita, apatita, sericita, zircão e opacos. No geral as rochas apresentaram textura cataclástica, estrutura de fluxo, matriz afanítica e uma composição ácida. É freqüente a presença de microfraturas transversais à orientação do fluxo da rocha, indicando possivelmente uma segunda fase de esforços de tensão.

Um ultramilonito foi descrito (amostra OF-900) acha-se constituído por: plagioclásio, quartzo, epidoto, sericita, clorita, actinolita, titanita, apatita e magnetita. A amostra também possui textura cataclástica com estrutura de fluxo. É freqüente a presença de microfraturas transversais à orientação do fluxo da rocha. Trata-se de rocha provavelmente do clã dos granitos submetida à metamorfismo dinâmico e hidrotermalismo.

Nessa seqüência foram descritos em alguns pontos (DF-2051, DF-1982, entre outros) de ganisses, fitados e bandeadeiros. Foram também identificados alguns diques de pequena espessura de sienito porfiróide pertitizado composto por macrocristais de quartzo e feldspato potássico imersos em uma matriz contendo feldspato potássico, quartzo, sericita e biotita.

Os contatos dessa unidade com o Complexo Pré-Setuba são tectônicos e com a Seqüência Turvo-Cajati através de discordância estrutural, erosiva ou tectônica.

f) Seqüência Turvo-Areado: essa seqüência está presente na área abrangendo uma pequena superfície no extremo nordeste, também aflora em pontos isolados, ilhados em janelas erosivas dentro da área de ocorrência da "Seqüência Turvo-Cajati. É composta principalmente por gnaisses fitados e bandeados, no geral maficos com hornblenda e/ou biotita. Em certos setores chegam a predominar rochas felsicas cataclásticas por vezes com indícios de hidrotermalismo.

No ponto DF-1961 foi coletada uma amostra e submetida à descrição micropetrográfica que mostrou-se em gnaiss calcossilicático composta por: quartzo, diopsídio, plagioclásio, ortoclásio, titanita, zoizita, sericita, uralita, apatita, zircão e opacos. A rocha é constituída essencialmente por quartzo e diopsídio e secundariamente por feldspatos. Os minerais mostram evidências de fraturamento e alongamento segundo a foliação. A foliação gnássica é bastante uniforme e concordante com um bandeamento de maior escala. Dentro dessa unidade ainda ocorrem passagens ou intercalações de mica-xistos, quartzitos, mármores dolomíticos e metabasitos.

Essa unidade faz contato transicional com os gnaisses tidos como do Complexo Pré-Setuya.

g) Complexo Pré-Setuya: aflora na porção norte da área, ocupando aproximadamente 50% da superfície englobada pelo projeto.

É composto por rochas gnássicas heterogêneas, com gnaisses fitados, gnaisses bandeados, augen-gnaisses, biotita-gnaisses, honrblenda gnaisses, milonito-gnaisses, gnaisses cataclásticos, cataclasitos quartzo-feldspáticos, filonitos, etc.

São comuns nessa unidade augen-gnaisses com matriz biotítica abundante, contendo porfiroblastos com dimensões de até 2 cm de feldspatos, apresentando cores rosadas (OF-854, 872). Essas rochas mostram sinais de cataclase e, no esboço geológico estão classificados como gnaisses blastomiloníticos.

Como biotita-gnaisses estão sendo denominados os gnaisses fitados a bandeados com matriz biotítica abundante.

te (JC-1401, 1410, entre outros).

Um hornblenda-gnaissse (JP-49) relacionado a este agrupamento foi submetido a descrição micropetrográfica e mostrou ser composto por: plagioclásio, feldspato alcalino, quartzo, hornblenda e actinolita, epidoto, clorita, titanita e pirita. A rocha mostra uma textura cataclástica com os níveis ricos em anfibólio distintos dos níveis de mineralogia félsica. A presença de epidoto preenchendo microfraturas transversais a gnaissificação indica a presença de hidrotermalismo. Outro hornblenda-gnaissse (DF-843-A) mostrou-se composto por microclínio, ortoclásio, plagioclásio, quartzo, hornblenda, epidoto, zoizita, clorita, titanita, apatita e opacos. Trata-se de uma rocha com alternância de níveis de minerais máficos e níveis de minerais félsicos.

Também foi evidenciado sinais de cataclase através de microfraturas e microfalhas. Uma rocha gnaissica próxima ao granito (Pto. GP-1951-B), mostrou a seguinte composição: plagioclásio, hornblenda, actinolita, clorita, epidoto, zoizita, carbonato, quartzo, apatita, opacos. Trata-se de rocha com sinais de cataclase e uma certa milonitização dos minerais ao longo das fraturas e neoformação de minerais do grupo do epidoto e clorita.

Várias amostras foram definidas como milonito-gnaisses (DF-2004, DF-2013, JC-1425, entre outros) apresentam-se compostos por plagioclásio, quartzo, muscovita, clorita, biotita, apatita, carbonato, epidoto e sulfetos. Tratam-se de rochas de composição predominantemente ácida, que foram submetidas à esforços tectônicos, causando intenso cizalhamento dos minerais e neoformação de quartzo, clorita, carbonato, sericita, epidoto, alanita e opacos. Os níveis micáceos são descontínuos e granulação muito fina. Pelas características texturais e mineralógicas a rocha sofreu um metamorfismo catcaclástico de grande intensidade.

Outras rochas também dessa seqüência revelaram-se gnaisses cataclásticos (DF-330, DF-2020, OF-845, entre outros) achando-se compostos por plagioclásio, quartzo, clorita, epidoto, apatita, titanita e opacos. As rochas apresentam uma granulação pouco maior que os milonito-gnaisses, com si-

nais de cataclase e hidrotermalismo.

Em alguns pontos foram descritos cataclasitos quartzo feldspáticos (DF-357, GP-1947, OF-841, OF-847, OF-855, entre outros). São rochas cataclásticas, miloníticas, onde predomina a composição quartzo-feldspática, dando assim um aspecto granítóide à rocha. Poderiam ser oriundos de um neosoma de gnaisses. Essas rochas apresentam-se totalmente fraturadas e com as fraturas preenchidas por epidoto. Em alguns pontos foram descritos filonitos (DF-2015, DF-311, DF-356, OF-856, OF-871, OF-869, entre outros). Nenhuma amostra desse conjunto foi submetida a descrição micropetrográfica.

Em três lâminas delgadas foram definidas rochas metabásicas (OF-842, JC-1423 e GP-1955-C) são compostas por: plagioclásio (andesina), hornblenda, actinolita, clorita, carbonato, quartzo, epidoto, biotita, titanita, apatita e opacos. Tratam-se de rochas de composição básica que foram afetadas por eventos hidrotermais.

De maneira geral, pode-se concluir que toda essa unidade sofreu cataclase textural e eventos hidrotermais.

O Complexo Pré-Setuba faz contato tectônico, a través de falhamentos, com o Granito Nagib Silva. O seu relacionamento com a Seqüência Turvo-Areado, "Seqüência Filonítica" é do tipo transicional.

É possível que em trabalhos futuros se comprove que as unidades Seqüência Turvo-Areado, Seqüência Filonítica e "Seqüência Cataclástica Uberaba" façam parte do Complexo Pré-Setuba.

h) Embasamento Cristalino: esse grupamento litológico ocupa a porção sudoeste da área do projeto, a sul da zona da falha Putunã. Predominam migmatitos homogêneos, tipo nebulítico, com variações a tipos flebiticos e estromáticos. Em uma descrição micropetrográfica de uma amostra representativa (DF-2035) resultou em granito cizalhado, composto por ortoclásio, quartzo, plagioclásio, serícita, clorita, biotita, zircão, turmalina, titanita, leucoxênio e opacos. Trata-se de rocha granítica afetada por esforços de tensão e cizalhamento mais acentuado, possivelmente relacionado ao falhamento Putunã.

Quando a rocha apresenta uma maior percentagem em minerais maficos, o seu bandeamento ainda é difuso e irregular podendo ser definida como hornblenda - gnaisse-granítico (DF-368).

No âmbito do projeto, as rochas do Complexo Cristalino estão em contato tectônico estrutural com o Granito Nagib Silva. Os contatos com a Seqüência Turvo-Cajati são marcados por forte discordância estrutural não sabendo-se por ora se seria erosiva ou tectônica.

3.1.3 - Geologia Estrutural

3.1.3.1 - Introdução

Durante os trabalhos de mapeamento geológico, foram identificados sinais de deformação tectônica dúctil e também rúptil. Analisando-se esses dados conclui-se que ocorreu na área, uma transposição tectônica intensa, além de fraturamentos.

Enfocando-se o tectonismo rígido que teria afe~~tado~~ tado a área, vários conjuntos de fraturas e grandes lineamentos são observados. Prevendo-se que eventuais mineralizações estariam condicionadas a fraturamentos, resolveu-se então rea~~lizar~~ lizar uma análise estrutural da área e para isso foram contr~~a~~ tados os serviços de consultoria do Geólogo Dr. Paulo Cesar Soares, cujas conclusões são citadas e discutidas nesta capítulo. Para maiores informações, vide o relatório de consultoria, anexado ao relatório.

Decidiu-se detalhar o setor do Rio do Facão, próximo à localidade de Nagib Silva, pois trata-se de uma área reconhecidamente importante onde são detectadas ocorrências minerais de Pb, Zn e F.

As fraturas foram caracterizadas no campo pelas seguintes propriedades: forma da superfície, presença e tipo de material de preenchimento, milonitização e sentido de rotação dos blocos. As suas atitudes foram lançadas em diagramas Schmidt-Lambert elaboradas e analisadas, discriminando as diferentes classes de fraturas. Para resumir os dados, elabo-

rou-se uma tabela. (Vide página que segue).

Analizando os dados tabelados, conclui-se que:

1 - As fraturas de direção entre N-S a $N45^{\circ}W$, verticalizadas, são as mais importantes para conterem mineralizações, por serem distencionais e antitéticas.

2 - No interior do corpo granítico são importantes as fraturas com direção entre $N30^{\circ}W$ a $N45^{\circ}W$, verticalizadas.

Esses tipos principais de fraturas foram destacadadas no mapa geológico.

3.2 - Nota Explicativa Sobre Aspectos Geoquímicos

Os dados oriundos de laboratório foram submetidos a tratamentos estatísticos para a definição das anomalias geoquímicas.

A seguir, estão tabeladas as principais áreas anômalas, com os respectivos valores e ordem de prioridades.

Para melhores esclarecimentos sobre a prospecção geoquímica, sugere-se a consulta do anexo 12 denominado de "PROSPECÇÃO GEOQUÍMICA DO ALVO NAGIB SILVA".

3.3 - Geologia Econômica

3.3.1 - Generalidades

Neste capítulo serão abordados todos resultados obtidos nesta fase de prospecção, através de relatos sobre os seguintes itens: "Análise Química de Rochas", "Ocorrências Minerais Detectadas", "Aspectos Litológicos Estruturais", "Modelos de Mineralização" e "Alvos Selecionados para Trabalhos de Prospecção de Detalhe".

LITOLOGIA	TIPO DE FRA TUR. OBSERV.	ATITUDE MODAL PRINCIPAL	TIPO DE CIZA MENTO	OBSERVAÇÕES
Encaixantes Cataclásti- cas	Preenchidas	N70° - 80° W-Sub vertical	Simples	O tipo de cizalhamento considerado, é o simples divergente, tendo em vista todas as atitudes modais apresentarem preenchimento. A direção N70° - 80° W é de cizalhamento principal, N-S 25° W as síntéticas e N45° W as antítéticas de distensão
	Não preenchi- das	N45° W-Subver- tical	Simples	O cizalhamento principal apresenta baixa tensão normal, sendo propício à abertura, enquanto as antítéticas são mais fechadas
Com Miloni- tização		N45° E-80° SE	Puro	Esse sistema apresenta boa simetria
Fraturas c/ Indicação de Deslocamen- to		N70° - 80° W (Ho- rarias-Sinté- ticas) NO - 20° W (An- ti-Horárias - Antítéticas)	Simples	Pelos dados conclui-se que houve mais de um sistema de movimentação cizalhante na área
Corpo Grani- tico	Preenchidas, não Preenchi- das com mi- lonitização e fraturas com indica- ção de movi- mento	N35° - 55° E-Sub vertical	Puro	O sistema é ajustado ao modo de juntas num corpo em resfriamento puro com achatamento na direção N45° W.

TABELA - RESUMO DAS ÁREAS GEOQUÍMICAMENTE ANÔMALAS

ÁREA	VALORES MÁXIMOS OBTIDOS					ÁREA (km²)	Nº DE A- MOSTRAS QUE DEF. A ANOMA- LIA	PRIORIDAD: SEGUNDO SEGEQ	PROVÁVEL FONTE DA ANOMALIA
	Cu (ppm)	Pb (ppm)	Zn (ppm)	Co (ppm)	F (ppm)				
	IMPORTÂNCIA RELATIVA DOS TEORES OBTIDOS								
1	22 - 23			19 - 20		0,4	2	C	Desconhecida
	1.ª Ordem			2.ª Ordem					
2	18 - 30		59 - 88		265 - 4	2,0	13	B	Estrutura re- gional NE
	1.ª Ordem		1.ª Ordem						
3	28 - 48	53				2,4	12	C	Desconhecida
	1.ª Ordem	1.ª Ordem							
4	22 - 32			31 - 46	452 - 668	0,9	9	A	Estrutura NW
	1.ª Ordem			1.ª Ordem	1.ª Ordem				
5	29 - 32	49 - 53	173 - 188	20 - 25	492 - 940	1,5	7	A	Estrutura NW
	1.ª Ordem	1.ª Ordem	1.ª Ordem	1.ª Ordem	1.ª Ordem				
6	30		174			0,3		C	Desconhecida
	1.ª Ordem		1.ª Ordem						
7	27 - 43					0,4	3	C	Desconhecida
	1.ª Ordem								
8	23 - 33				915	0,1	2	B	Desconhecida
	1.ª Ordem				1.ª Ordem				
9	24 - 29	93 - 162	126 - 264	20 - 42	308 - 851	1,0	15	A	Relacionada ao granito Na- gib Silva
	1.ª Ordem	1.ª Ordem	1.ª Ordem	1.ª Ordem	1.ª Ordem				
10	47 - 62	65 - 86	170 - 266		404 - 968	0,3	3	B	Poderá ser falsa anomá- lia
	1.ª Ordem	1.ª Ordem	1.ª Ordem		1.ª Ordem				
11	21 - 30	18 - 22	66 - 83		547 - 760	2,4	6	B	Estrutura NE
	1.ª Ordem	1.ª Ordem	1.ª Ordem		1.ª Ordem				
12									
13	16 - 27		52 - 89		288 - 437	1,0	15	B	Estrutura NE
	1.ª Ordem		1.ª Ordem		2.ª Ordem				
14	20 - 31				550 - 657	0,8	7	B	Estrutura NE
	1.ª Ordem				1.ª Ordem				
15	24 - 26				770 - 800	0,4	1	B	Estrutura NE
	1.ª Ordem				1.ª Ordem				
16					520 - 614	0,7	2	C	Estrutura NE
					1.ª Ordem				
17	43				593	0,2	1	C	Estrutura NE
	1.ª Ordem				1.ª Ordem				
18			186			0,2	1	Descar- tar	Desconhecida
			1.ª Ordem						
19					687	0,2	9	C	Estrutura NE
					1.ª Ordem				

3.3.2 - Análise Química de Rochas

Todos os resultados analíticos obtidos das análises químicas de rochas, durante as fases regional, verificação de anomalias e prospecção de semidetalhe, estão relacionados na folha a seguir.

^{Tabula} Os mais altos teores para Pb (12.000 ppm) e Zn (7.000 ppm), são provenientes da análise química de uma rocha granítica cataclasada, hidrotermalizada, com galena visível (GP-1950).

O mais alto teor de Cu (710 ppm), foi obtido com a análise química da amostra GP-1935-C, que trata-se também de uma rocha granitóide cataclasada e hidrotermalizada. Nesta amostra os valores de Pb e Zn, também são representativos, com 3.720 ppm e 5.370 ppm, respectivamente.

O mais alto teor em flúor é proveniente do ponto JP-31, cuja amostra analisada também trata-se de um grano alterado, fraturado, hidrotermalizado, com disseminações de cristais de pirita. No mesmo local também foi coletada a amostra JP-31-A, apresentando um teor de 43.700 ppm de flúor. As amostras DF-311-B e DF-330-B com teores respectivos de 29.900 ppm e 36.900 ppm de flúor, foram coletadas sobre locais de grandes falhamentos, e são rochas miloníticas com evidências de hidrotermalismo.

Dentre os outros elementos analisados, apenas a amostra de granito (GP-1935-C), apresentou valores altos para Nb (1.700 ppm), Sn (122 ppm) e Ag (9 ppm).

Com os dados atuais pode-se aventar as suposições seguintes:

1 - As rochas com maiores teores são aquelas que mostram as mais fortes evidências de hidrotermalismo, com as fraturas preenchidas com epidoto, clorita, galena, fluorita, etc.

2 - Não é conhecido até agora nenhum teor de minério para qualquer dos elementos analisados.

ANÁLISE QUÍMICA DE ROCHAS

Nº Campo	Cu	Pb	Zn	F	Nb	Sn	W	Ag	Au	Bi	Mo
DF-311-B	190	50	150	29.900	-	-	-	-	-	-	-
DF-30-B	70	36	100	36.900	-	-	-	-	-	-	-
DF-352	83	46	160	6.300	-	-	-	-	-	-	-
DF-415	570	200	160	8.000	-	-	-	-	-	-	-
DF-1306	12	58	110	1.550	-	-	-	-	-	-	-
OF-51-A	20	55	100	1.375	-	-	-	-	-	-	-
DF-1305	-	-	-	815	-	-	-	-	-	-	-
JP-31	70	53	300	66.500	-	-	-	-	-	-	-
JP-31-A	22	490	315	43.700	-	-	-	-	-	-	-
JP-46	280	25	35	-	-	-	-	-	-	-	-
JP-53-A	65	470	23	39.900	-	-	-	-	-	-	-
JP-38	270	23	50	-	-	-	-	-	-	-	-
OF-896	-	-	-	623	< 20	< 5	< 3	-	-	-	-
OF-900	51	125	96	800	-	< 5	14	< 2	-	-	-
GP-1935-A	107	348	30	354	4.3	< 5	31	< 2	< 0,05	-	-
GP-1935-C	710	3.720	5.370	53	1.700	122	< 3	9	-	-	-
GP-1938	7	35	25	281	94	< 5	31	< 2	< 0,05	-	-
GP-1950	8	7.000	12.000	-	-	-	-	< 2	-	-	-
GP-1955	110	46	132	-	-	-	-	< 2	-	-	-
GP-1936	228	44	132	-	-	-	-	< 2	-	-	-
DF-2032	-	43	-	-	-	-	47	-	-	< 10	7
DF-1938-B	11	73	228	915	-	-	-	-	-	-	-
DF-2038	69	30	•29	9.250	-	-	-	-	-	-	-

3 - Analisando os resultados obtidos, é sugestiva uma possível associação entre os elementos Cu, Pb Zn e F evidenciada em algumas amostras.

3.3.3 - Ocorrências Minerais

Foram identificadas várias ocorrências de gale na e fluorita em rochas hidrotermalizadas, relacionadas ao Granito Nagib Silva e rochas da "Seqüência Cataclástica Uberaba". Essas ocorrências foram detectadas em sua maior parte em afloramentos descritos na perfilagem do Rio do Facão e margens do Rio Uberaba, próximo à antiga moradia do Sr. Nagib Silva. Destaca-se também uma ocorrência detectada de fluorita associada a massa silicosa, provavelmente de preenchimento de fratura no ponto DF-2038.

Os locais dessas ocorrências correspondem às zonas anômalas detectadas através da prospecção geoquímica.

3.3.4 - Aspectos Litológicos/Estruturais

Hidrotermalismo é um fenômeno comumente caracterizado na área, sobretudo em rochas do Granito Nagib Silva, rochas da "Seqüência Cataclástica Uberaba" e Complexo Pré-Setuva. Os processos hidrotermais presentes são: epidotização, cloritização, sericitização, silicificação, carbonatação e alguns casos de feldspatização e turmalinização.

Certamente as mineralizações da área relacionam-se a processos hidrotermais visto que os mais altos teores de Pb, Zn e F verificados em rocha são provenientes de análises químicas de tipos hidrotermalizados.

As direções mais importantes para manifestações hidrotermais, segundo a análise estrutural processada, são aquelas N-N45°W por conterem as fraturas distencionais e antitéticas de 1^a e 2^a ordens. No interior do corpo granítico devem ser destacadas as fraturas N20°-45°W e nas encaixantes NS-25°W. Tem sido verificado na prática, que esta previsão teórica é um bom modelo preditivo para apofises, zonas de alteração e veios mineralizados, como ocorre nos numerosos depósitos

tos de cobre porfirítico no Sudoeste da América do Norte (T. Hey e Heidrick, 1983) e nos depósitos estaníferos de Cornwall, na Inglaterra e Tasmania, na Austrália (Taylor, 1979).

Quanto aos resultados de geoquímica, as anomalias mais significantes estão relacionadas sempre a fraturamentos, sejam elas fraturas pequenas, ou grandes lineamentos.

Com os dados até agora obtidos, pode-se chegar a conclusão que as mineralizações da área estão associadas a fraturas ou regiões fraturadas e hidrotermalizadas. A época da mineralização no granito pode ser posterior ou concomitante com a intrusão, ao passo que a mineralização das encaixantes podem ser anterior, concomitante ou posterior à intrusão do granito, relacionada ou não com o lineamento Putunã.

3.3.5 - Modelo de Mineralização

Analisando todos os dados disponíveis de geologia e geoquímica podemos concluir que as mineralizações encontradas na área são do tipo hidrotermais, condicionadas ao sistema tectônico-estrutural associado à granitogênese. As amostras com teores mais elevados de Cu, Pb, Zn, Co e F são todas rochas cataclásticas com intenso hidrotermalismo.

Com os trabalhos até agora desenvolvidos não foram verificados indícios de uma possível mineralização vulcanogênica estratiforme para as rochas da Seqüência Turvo-Cajati, como se havia aventado no relatório "Verificação de Anomalias Geoquímicas nas Áreas Capivari-Pardo e Antiforme do Setuya".

3.3.6 - Alyos Selecionados para Prospecção de Detalhe

Utilizando-se de critérios geológicos relacionados nos itens anteriores e aqueles relacionados aos critérios geoquímicos, elaborou-se a tabela da página seguinte, tentando-se priorizar alyos. Uma síntese dessa priorização é a tabela a seguir.

Priori dade	Área Anômala (Vide mapa síntese Anexo-06)
1	9
2	5
3	10
4	2, 4, 13
5	11
6	14
7	3
8	1, 6, 8, 15, 18
9	16, 17, 19
10	7

4 - CONCLUSÕES

1 - As mineralizações na área devem ser do tipo filoneanas, provavelmente controladas por tectonismo rígido, devendo posicionarem-se em zonas de fraturamentos. Tais mineralizações devem ser mais importantes quando associadas à zonas hidrotermalizadas, principalmente sobre rochas encaixantes mais favoráveis.

2 - Existem duas áreas mais promissoras, denominadas de "5" e "9" totalizando cerca de 2,5 km², também são definidas áreas de uma segunda prioridade, denominadas de "2", "11", "13", "14" e "16", totalizando aproximadamente 6 km².

3 - Persistem dúvidas na caracterização litológica das diversas unidades da área, estas relacionam-se principalmente na separação entre cataclasitos gerados por zona de cizalhamento de falha transcorrente e cataclasitos gerados por cizalhamento dúctil regional.

PRIORIZAÇÃO DOS ALVOS DE PESQUISA																			
Áreas Geog. Análise	ASPECTOS GEOQUÍMICOS							ASPECTOS GEOLOGICOS Concreitos em Anexo							PRIORIDADES				
	Cd Peso 1	Pb Peso 2	Zn Peso 3	Co Peso 4	F Peso 5	SOM Peso 6	Prior. Peso 7	Est. Min.	Co Peso 8	Mn Peso 9	Fe Peso 10	Gran Peso 11	SSE. Peso 12	Cone. Peso 13	Prior. Peso 14	P.A.G. Peso 15	Mai. Peso 16	Ord. Prior.	
1	1. ^a orden	13 X		2	1	3	2	1	13 X	X	1	4	2,5	8 ^a					
2	1. ^a orden	10 XXX		3	1	3	3	4	2	15 XXX	3	6	4,5	4 ^a					
3	1. ^a orden	10 XXX		2	1	5	2	2	13 XXX		2	4	3,5	7 ^a					
4	1. ^a orden			1. ^a orden	1. ^a orden	27 XXX		3	2	3	3	3	14 XXX		3	6	4,5	4 ^a	
5	1. ^a orden	51 XXXXX		5	4	5	4	1	19 XXXX		5	6	6,5	2 ^a					
6	1. ^a orden	1. ^a orden				12 X		2	3	5	2	1	13 XX		1	4	2,5	8 ^a	
7	1. ^a orden					3 X		1	2	1	1	1	4	6 X		1	2	0,5	10 ^a
8	1. ^a orden				1. ^a orden	13 X		1	1	4	3	4	13 XX		1	4	2,5	6 ^a	
9	1. ^a orden	51 XXXXX		5	5	5	5	5	30 XXXXX		5	10	7,5	1 ^a					
10	1. ^a orden	1. ^a orden	1. ^a orden		1. ^a orden	36 XXXX		4	2	5	3	1	15 XXX		4	6	5,0	3 ^a	
11	1. ^a orden	1. ^a orden	1. ^a orden		1. ^a orden	39 XXXX		3	2	3	2	1	11 XX		4	4	4,0	5 ^a	
12																			
13	1. ^a orden	1. ^a orden			1. ^a orden	24 XXX		3	2	3	2	4	14 XXX		3	6	4,5	4 ^a	
14	1. ^a orden				1. ^a orden	15 X		3	2	3	3	4	15 XXX		1	6	3,5	6 ^a	
15	1. ^a orden				1. ^a orden	15 X		3	1	3	2	3	12 XX		1	4	2,5	8 ^a	
16					1. ^a orden	12 X		3	1	2	2	1	9 X		1	2	1,5	9 ^a	
17	1. ^a orden				1. ^a orden	15 X		3	1	2	2	1	9 X		1	2	1,5	9 ^a	
18		1. ^a orden				15 X		2	1	2	2	4	11 XX		1	4	2,5	8 ^a	
19					1. ^a orden	12 X		2	1	2	2	1	8 X		1	2	1,5	9 ^a	

4 - Persistem dúvidas sobre a tipologia e dimensões de eventuais corpos mineralizados. Sabe-se apenas que haveriam concentrações importantes de sulfetos de chumbo, zinco, ferro e fluorita, em rochas hidrotermalizadas, conforme observado em blocos rolados.

5 - Considera-se que os objetivos determinados para esta fase foram alcançados, cabendo agora uma análise de aspecto empresarial visando a continuidade ou não dos trabalhos na área.

5 - RECOMENDAÇÕES

Face ao exposto anteriormente recomenda-se:

1 - Eleger as áreas "5" e "9" para prospecção detalhada visando conhecer formas, dimensões, teores e importância econômica de eventuais corpos mineralizados.

2 - Dentro dessas áreas, somente executar prospecção sobre setores restritos arealmente, de modo a perfazer na área "9" 20 ha e na área "5" 48 ha. Vide esboços nas páginas que se seguem.

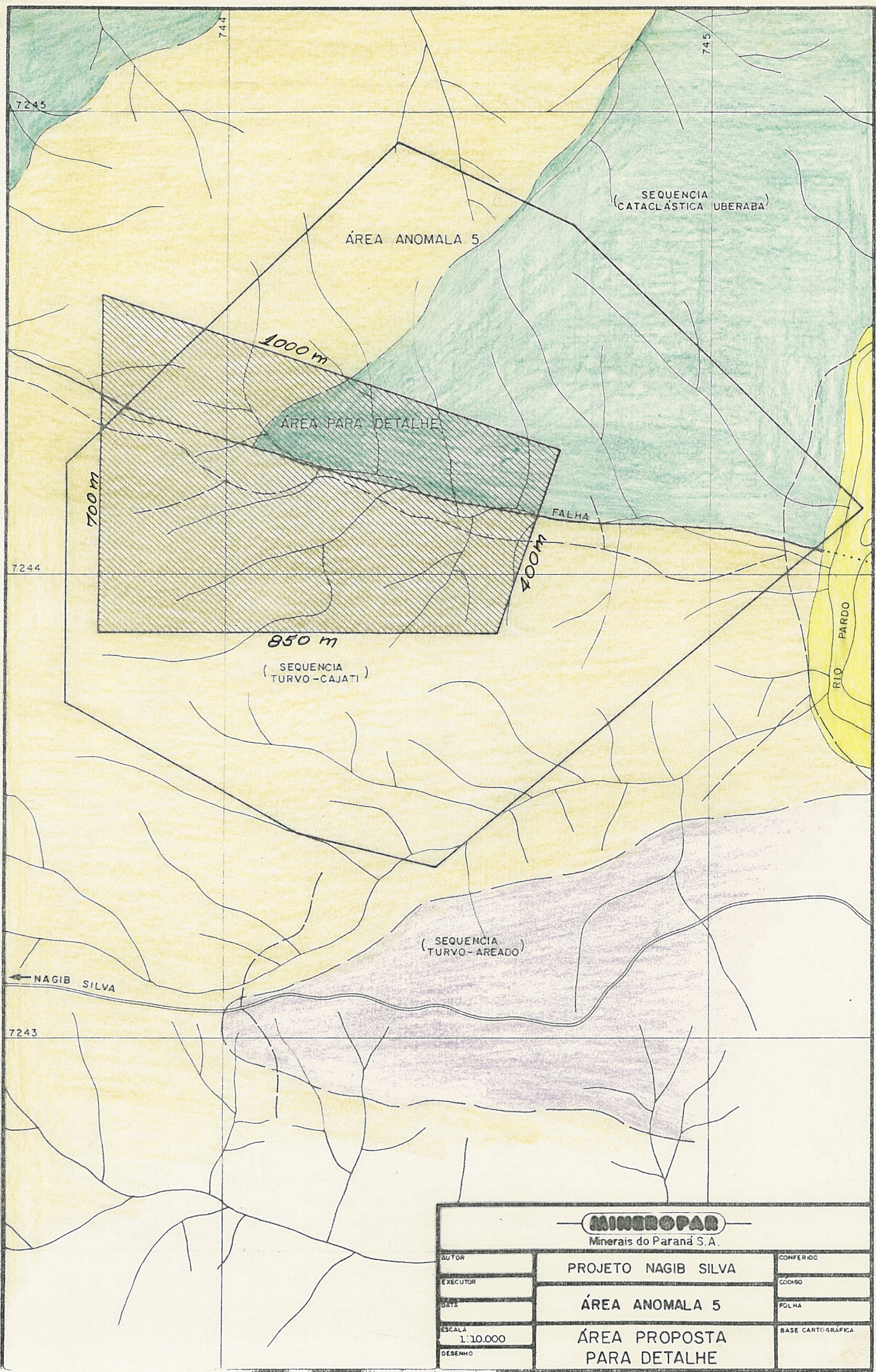
3 - A prospecção detalhada nesses alvos poderia ser feita com as seguintes etapas:

- a) Definição de metodologia de prospecção geoquímica de solos.
- b) Prospecção de solos para Pb, Zn e eventualmente F, em malha aberta, a ser definida.
- c) Em áreas anômalas, detalhamento dos alvos com prospecção geoquímica de solos em malha mais densa.
- d) Escavações visando o conhecimento geológico em superfície de eventuais mineralizações.
- e) Avaliação dos dados e relatório de etapa.

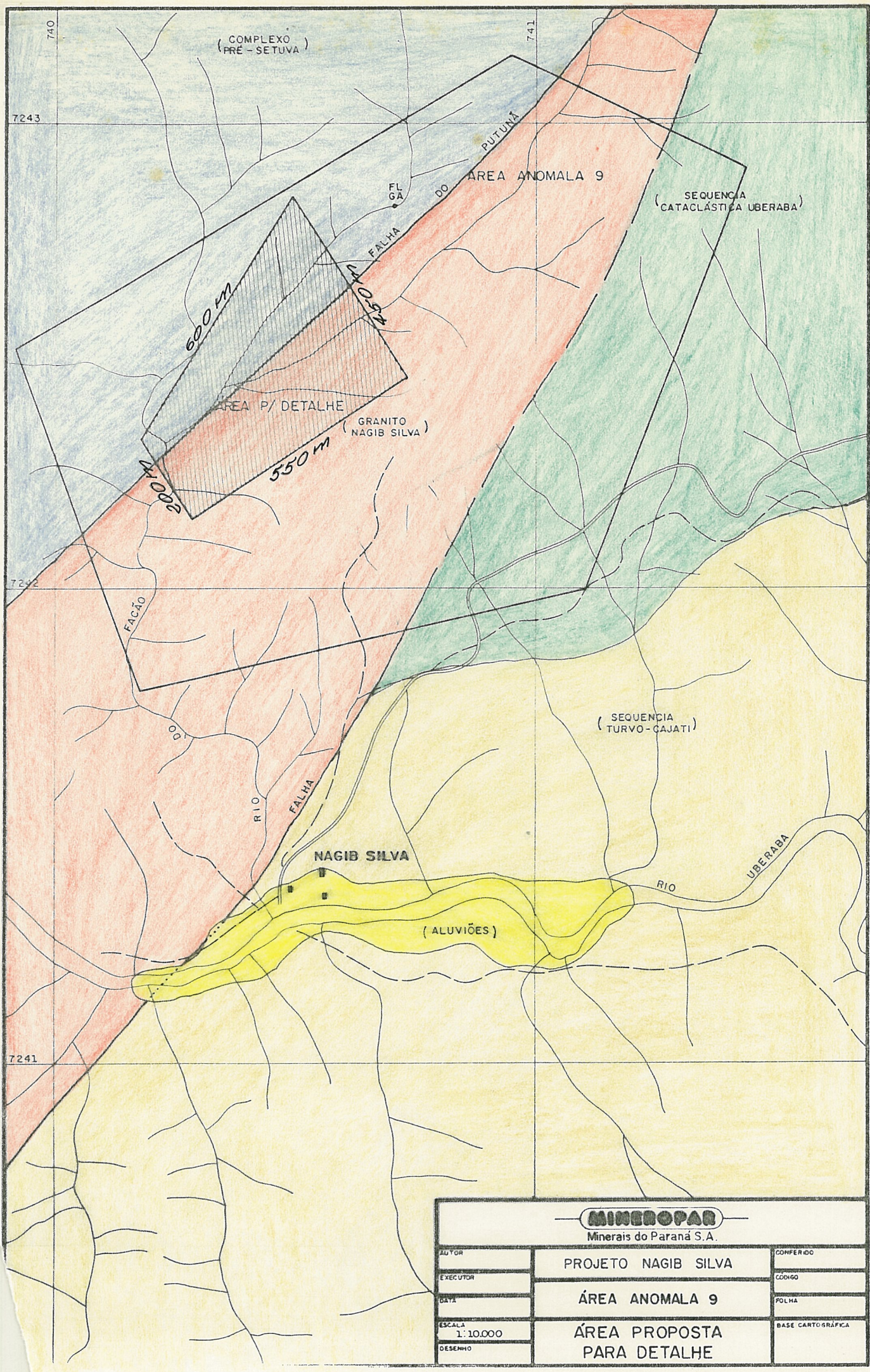
4 - Caso os trabalhos apresentem resultados positivos, deve-se aplicar a mesma metodologia para as outras áreas anômalas consideradas como prioritárias.

5 - As áreas geoquimicamente anômalas distri-buem-se por todos os alvarás, portanto não é recomendável o descarte de áreas antes da próxima etapa.

Diclécio Falcade



MINEROPAR Minerais do Paraná S.A.		
AUTOR	PROJETO NAGIB SILVA	
EXECUTOR		
DATA	ÁREA ANOMALA 5	
ESCALA 1:10.000 DESENHO	ÁREA PROPOSTA PARA DETALHE	
	CONFIRADO COOGO FOLHA	BASE CARTOGRAFICA



REFERÊNCIAS BIBLIOGRÁFICAS

- FALCADE, D. Geologia e Potencial Econômico da Área Capivari-Pardo. Relatório interno da Mineropar. 1982.
- FRITZSONS JR., O. Prospecção de Detalhe no Alvo Sn Paraíso - Fase I. Relatório interno da Mineropar. 1985.
- FRITZSONS JR., O.; BIONDI, J.C. e PIEKARZ, G.F. Verificação de Anomalias Geoquímicas nas Áreas Capivari-Pardo e Antiforme do Setuba. Relatório interno da Mineropar. 1985.
- SILVA, A.T.S.F.; ALGARTE, J.P. Contribuição à Geologia da Sequência Turva-Cajati, entre o Rio Pardo e Pariguera-Açu; Estado de São Paulo - I - Litologia e Petrografia. In: Anais do 3º Simpósio Regional de Geologia. Núcleo SBG/SP. Curitiba. v.1, p. 109-119. 1981.
- SILVA, A.T.S.F.; ALGARTE, J.P. Contribuição à Geologia da Sequência Turvo-Cajati, entre o Rio Pardo e Pariguera-Açu; Estado de São Paulo - II - Estrutura Metamorfismo e Evolução Geotectônica. In: Anais do 3º Simpósio Regional de Geologia. Núcleo SBG/SP. Curitiba. v.1. p. 121-132. 1981.

ANEXOS

01 - RELATÓRIO SOBRE ANÁLISE ESTRUTURAL ELABORADO PELO GEÓLOGO
PAULO CESAR SOARES

Curitiba, 17 de dezembro de 1985

Para: Diclécio Falcade - Minerais do Paraná S/A

De: Paulo Cesar Soares

Ref.: RELATÓRIO DE CONSULTORIA - ANÁLISE DE FRATURAS

1 - INTRODUÇÃO

Os dados de fratura analisados foram apresentados em diagramas Schmidt-Lambert e referem-se à área do Grani to Nagib Silva e encaixantes caracterizadas como cataclasitos.

As fraturas foram caracterizadas no campo pelas propriedades que mais interessam neste tipo de análise: forma da superfície, presença e tipo material de preenchimento, milonitização e sentido de rotação de blocos. Os diagramas foram elaborados e analisados, discriminando as diferentes classes de fraturas.

2 - ANÁLISE E INTERPRETAÇÃO

2.1 - Fraturas nas Encaixantes: Cataclasitos

A principal característica da população de fraturas preenchidas é a sub-verticalidade, indicando que a deformação se deu no plano horizontal.

A segunda característica importante é a ausênci a de modas conjugadas indicando tratar-se de deformação por cizalhamento simples.

a) Fraturas com Preenchimento (diagrama 1)

Na população de fraturas com preenchimento a moda principal é N70-80W; SV com cauda horária. A segunda e terceira moda situam-se a N45W; SV e NO-25W; SV.

- Como 1.^a hipótese considera-se o arranjo geométrico ajustado ao modelo de cizalhamento simples divergente, tendo em vista todas as modas apresentarem-se com preenchimento. A direção N70-80W é a de cizalhamento principal, e sintéticas, a NO-25W as antitéticas e a N45W de distensão, num sistema de movimentação horária (lateral direito).

b) Fraturas não Preenchidas nas Encaixantes (diagrama 2)

- A moda principal é N45W; SV, a secundária é N20W; SV e a terceira é N70-80W; SV; a quarta é N45SE; 80SE.

- No somatório das preenchidas e não preenchidas a moda principal permanece a N70-80W; SV, sendo esta considerada a direção de cizalhamento principal.

- A distribuição satisfaz a 1.^a hipótese; a transcorrência distensiva (transtensão) o cizalhamento principal apresenta baixa tensão normal (negativa) sendo propícia à abertura, enquanto as antitéticas são mais fechadas. A moda 4 é representativa das fraturas de compressão ou longitudinais ao eixo maior do elipsoide de deformação. A N45W é de distensão, ou normal ao eixo maior do elipsoide de deformação.

- O baixo ângulo (60°) entre o cizalhamento principal-sintéticas e as antitéticas caracteriza também o sistema transcorrente distensivo de cizalhamento rúptil.

c) Fraturas com Milonitização (diagrama 3)

- A moda principal é N45E; 80SE. Duas modas pouco representadas situam-se a N25E; SV e N75E; SV.

- Este sistema apresenta boa simetria, diferente do sistema anterior. A direção N45E milonitizada se ajusta à movimentação do sistema definido na primeira hipótese. Entretanto o arranjo com as duas outras modas e uma quarta concentração a N50W; SV se ajustam a uma movimentação anti-horária, com cizalhamento principal a N45E. Esta é uma 2^a hipótese que não explica o arranjo das juntas não milonitizadas nem a milonitização nas distensionais N50W.

d) Fraturas com Indicação de Deslocamentos (diagrama 4)

- As observações de sentido de deslocamento são muito dispersas e não chegam a se concentrar em modas representativas (> 4 por 1% de área). Entretanto considerando a importância qualitativa da observação, pode-se verificar que houve mais de um sistema de movimentação cizalhante. Dois conjuntos de sentido de deslocamento corroboram a 1^a hipótese.

- Deslocamentos horários na direção N70-80W (principal e sintéticas) e anti-horários na direção NO-20W (antitéticas); é interessante notar que na direção N45W, de fraturas distensionais, também ocorre deslocamento anti-horário que se ajusta à rotação das antitéticas (podendo explicar a fraca milonitização-moda IV do diagrama 3).

2.2 - Fraturas no Corpo Granítico

O corpo granítico tem forma alongada na direção N45E (na parte sul) a N60E (na parte norte), corresponden-

do a uma relação comprimento largura em torno de 5. É isótropo e equigranular, com pequena anisotropia nas zonas marginais.

- As fraturas com e sem preenchimento se agrupam em duas modas bem consistentes: N35-55E; SV e N30-45W, com mergulhos variados, maiores que 40° , para os dois quadrantes, com polos em guirlanda. Duas outras modas pouco representativas ocorrem a N75E e N25E, sub-verticais. (diagramas 5, 6 e 7)

- O sistema é bem ajustado ao modelo de juntas num corpo em resfriamento sob condições de cizalhamento puro com achatamento na direção N45W: juntas transversais, a N45W, mergulhantes; longitudinais, a N45E, sub-verticais e diagonais, simétricas às transversais. Estas são cizalhantes e o grande ângulo de abertura de 130° é devido ao forte achatamento do corpo.

- As observações de sentido de deslocamento são em número insuficiente para definir-se uma ordem de importância, aparecendo como pontos dispersos ou parcialmente agrupados. Qualitativamente verifica-se no setor NE a ENE uma maior concentração com movimentos anti-horários e no setor NNW com o mesmo sentido. Estes dois conjuntos não devem pertencer ao mesmo sistema deformacional.

- Observações em fraturas EW indicam movimentação horária, o mesmo ocorrendo nas NNE, que é incompatível também no mesmo sistema.

2.3 - Considerações sobre Fraturas Posteriores

Toda a região foi sitio de intenso fraturamento no mesozóico com a ruptura continental, abertura do Oceano Atlântico. Apesar de já se ter verificado que tal fraturamento consistiu numa reativação de rupturas antigas e insignifi-

cante geração de novas linhas no embasamento, as observações de micro-deslocamentos é fortemente influenciada pelas últimas movimentações. Dados obtidos em basaltos mesozóicos no Paraná indicam os seguintes sentidos de deslocamento: 1º) a principal direção de deslocamentos é a N60W (direção Pitanga) com movimentação dominante anti-horária e secundariamente horária; 2º) a segunda principal direção é à N25E com movimentação horária, não compatível com o mesmo sistema da principal; 3º) a principal é EW anti-horária, compatível com a segunda principal.

Estas três principais direções indicam um forte domínio de esforços compressivos situados no setor NE a NNE, com estiramento NW-SE, perpendicular à margem continental. Esta movimentação explica as observações de movimento anti-horário no corpo granítico e encaixante nas fraturas NE a EW. Entretanto não explicam as observações de movimentação anti-horária nas fraturas NO-25W (pois no pós-jurássico é horária), que é presente em eventos de mineralizações pré-cambrianas na região de Adrianópolis.

3 - DISCUSSÃO DOS RESULTADOS

1º - Cataclasitos

O último grande evento deformacional rúptil, com grandes deslocamentos no Paraná, ocorreu no Cambriano, o evento Lancinha concomitante com a intrusão de granitos datados entre 550 e 650 m.a. Foi caracterizado por um sistema de transcorrência compressional, cuja direção principal foi N60W com movimento lateral direito. Estruturas dominantes originalmente a NNE foram fortemente rotadas no sentido horário. As rochas fortemente cataclásticas da área foram originadas neste evento e as fraturas analisadas nestas rochas são tardias ou posteriores a este evento.

Outro evento sucessor de importante magnitude ocorreu no Ordoviciano, coincidindo com a formação da bacia do Grupo Castro e corresponde a uma reversão do movimento anterior e geração de "pombo-grabens" alongados para NE, em um sistema de transcorrência distensiva (transtensional) lateral esquerda.

O sistema de fraturamento que afetou os cataclasitos modelado como de cizalhamento simples, horário, com movimento principal no plano vertical N70-80W pode ser interpretado como um sistema de 2.^a ordem derivado do sistema Lancinha. Isto significa um fraturamento subordinado local e tardio dentro do sistema de transcorrência compressiva que gerou os cataclasitos. A Fig. 1 ilustra o desenvolvimento do fraturamento de 2.^a ordem tal como observado por Moody (1973) e generalizado por Soares (inédito) através da análise dinâmica da deformação em falhamentos. A condição limite para o desenvolvimento do sub-sistema de 2.^a ordem a 30-45° do de 1.^a ordem é que a componente cizalhante deste tenha sido aliviada na terminação distensiva de uma falha transcorrente, ficando remanescente a componente compressiva normal. Para componente cizalhante remanescente o sub-sistema de 2.^a ordem se desenvolve formando ângulos menores com o de 1.^a. Por exemplo, o cizalhamento principal do de 2.^a ordem pode se confundir com o de 1.^a. Nestes casos tem-se uma transição entre o sistema principal e o secundário.

No caso analisado a situação se aproxima da condição limite ou seja a componente cizalhante principal estava aliviada e isto reflete-se no estado de consolidação das rochas cataclásticas geradas por ela.

Os elementos do sub-sistema de 2.^a ordem são facilmente correlacionados com o descrito no cataclasito. Como pode-se notar as fraturas antitéticas da primeira ordem e distensionais e antitéticas da 2.^a ordem são mais favoráveis para serem abertas e preenchidas, seguidas das sintéticas e principais de 2.^a ordem e distensionais de 1.^a ordem.

As fraturas N75E e N25E descritas no diagrama 3 correspondem a elementos de 1.^a ordem, com milonitização.

2º - Corpo Granítico

A intrusão ocorreu contemporaneamente ao regime de 2.^a ordem nas grandes fraturas do sistema de 1.^a ordem. Deformou-se durante a consolidação sob a compressão NW-SE de 2.^a ordem gerando as fraturas normais N45W e longitudinais N45 E. Foi ainda cizalhado nas fraturas N70-80W (horário) e NS (anti-horário) deste sistema. O movimento anti-horário nas fraturas NE podem ser atribuídas aos processos dinâmicos mesozóicos como visto antes.

4 - IMPLICAÇÕES NA PESQUISA MINERAL

As direções mais importantes para manifestações hidrotermais, com visto anteriormente, são aquelas do setor N-N45W por conterem as distensionais e antitéticas de 1.^a e 2.^a ordem. No interior do corpo devem ser destacadas as fraturas N30-45W e nas encaixantes as NO-25W. Tem sido verificado na prática que esta previsão teórica é um bom modelo preditivo para apófises, zonas de alteração e veios mineralizados, como corre nos numerosos depósitos de cobre porfirítico no Sudoeste da América do Norte (T. Hey e Heidrick, 1983) nos estaníferos de Cornwall na Inglaterra e Tasmania na Australia (Taylor, 1979).

Estas direções devem ser pesquisadas através de "trends" ou feixes de traços de fraturas em fotos aéreas.

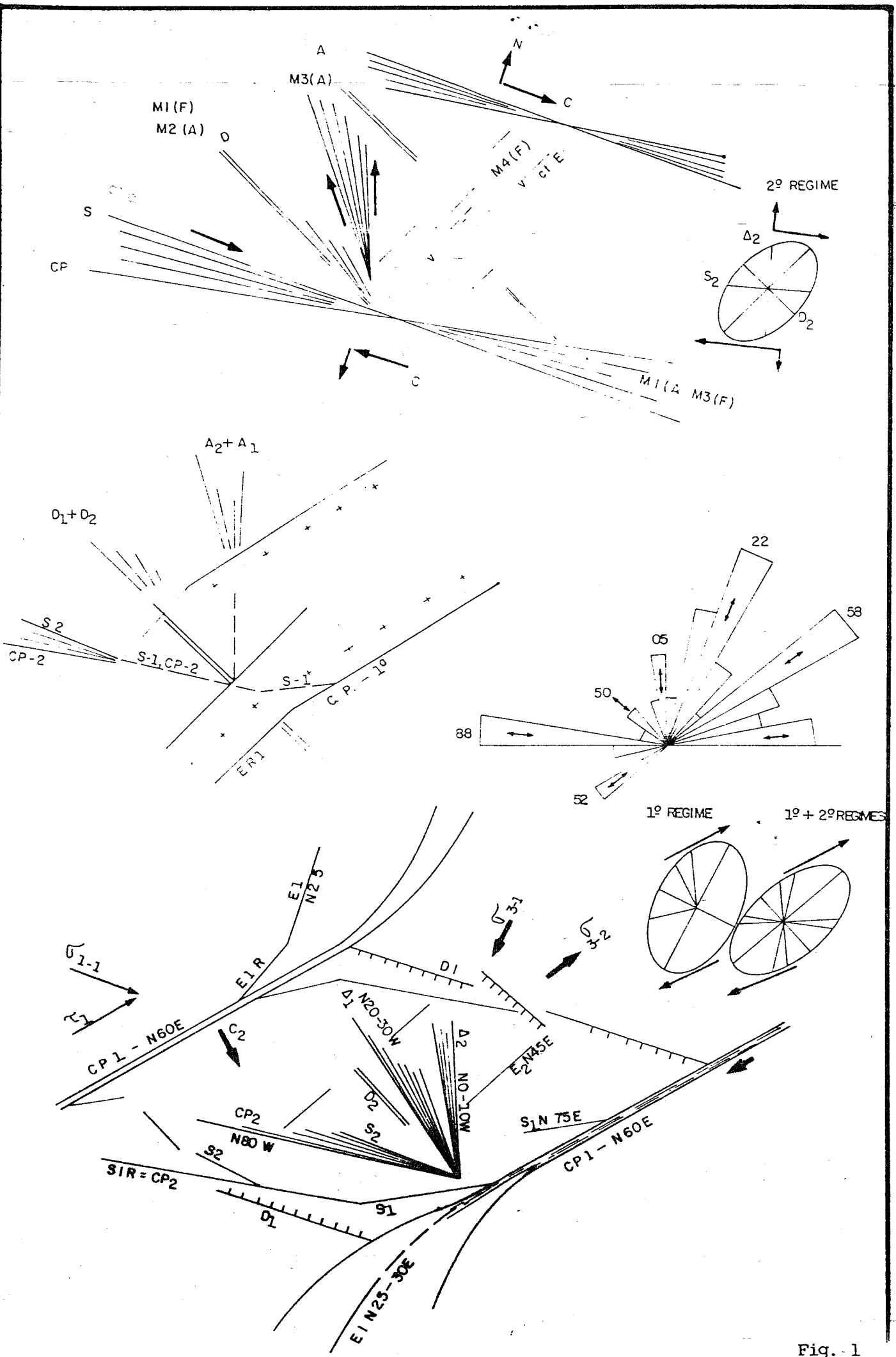
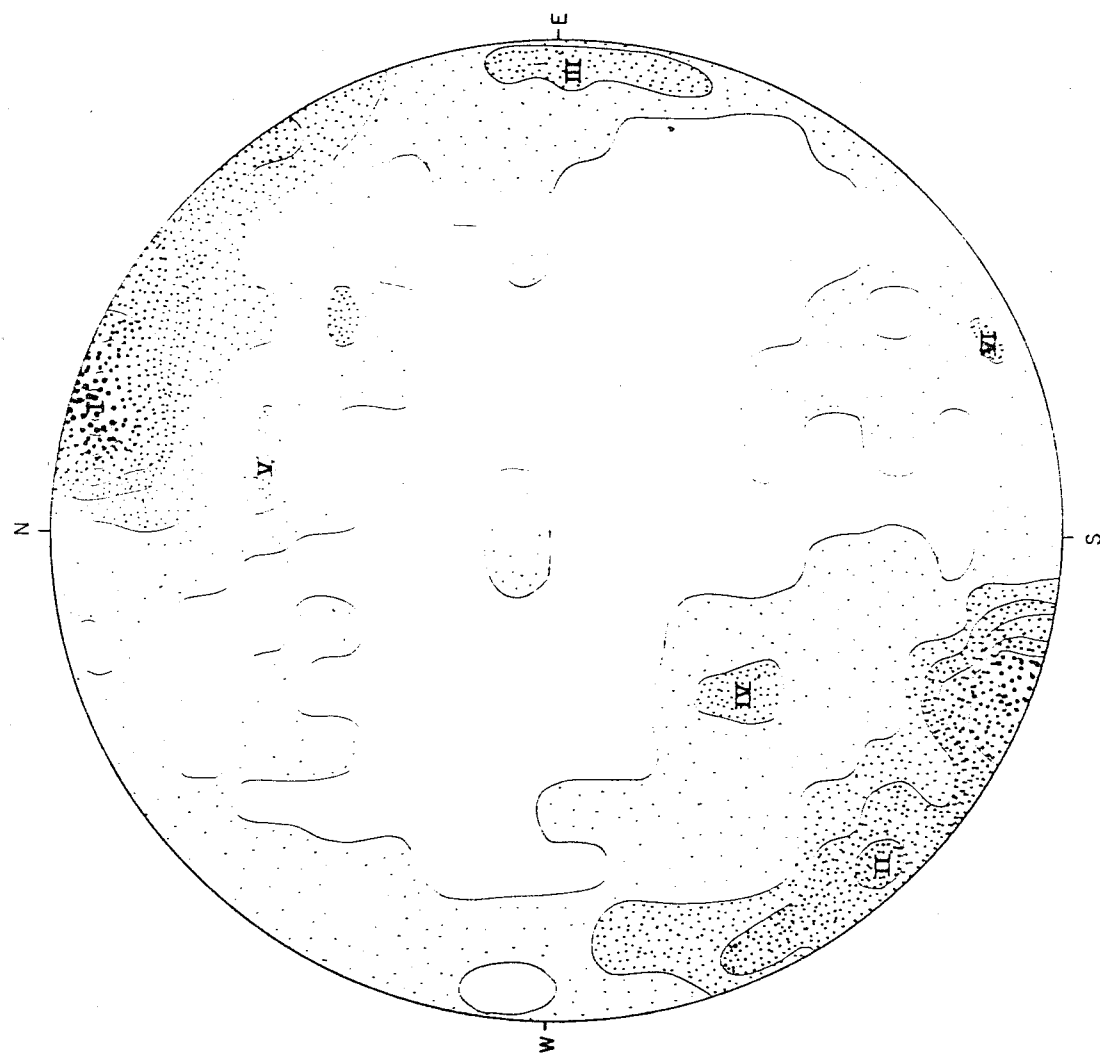


Fig. 1

CATACLASITOS
 (COM FRATURAS PREENCHIDAS SEM INDICAÇÃO DE REJEITO)
 Nº DE MEDIDAS = 135



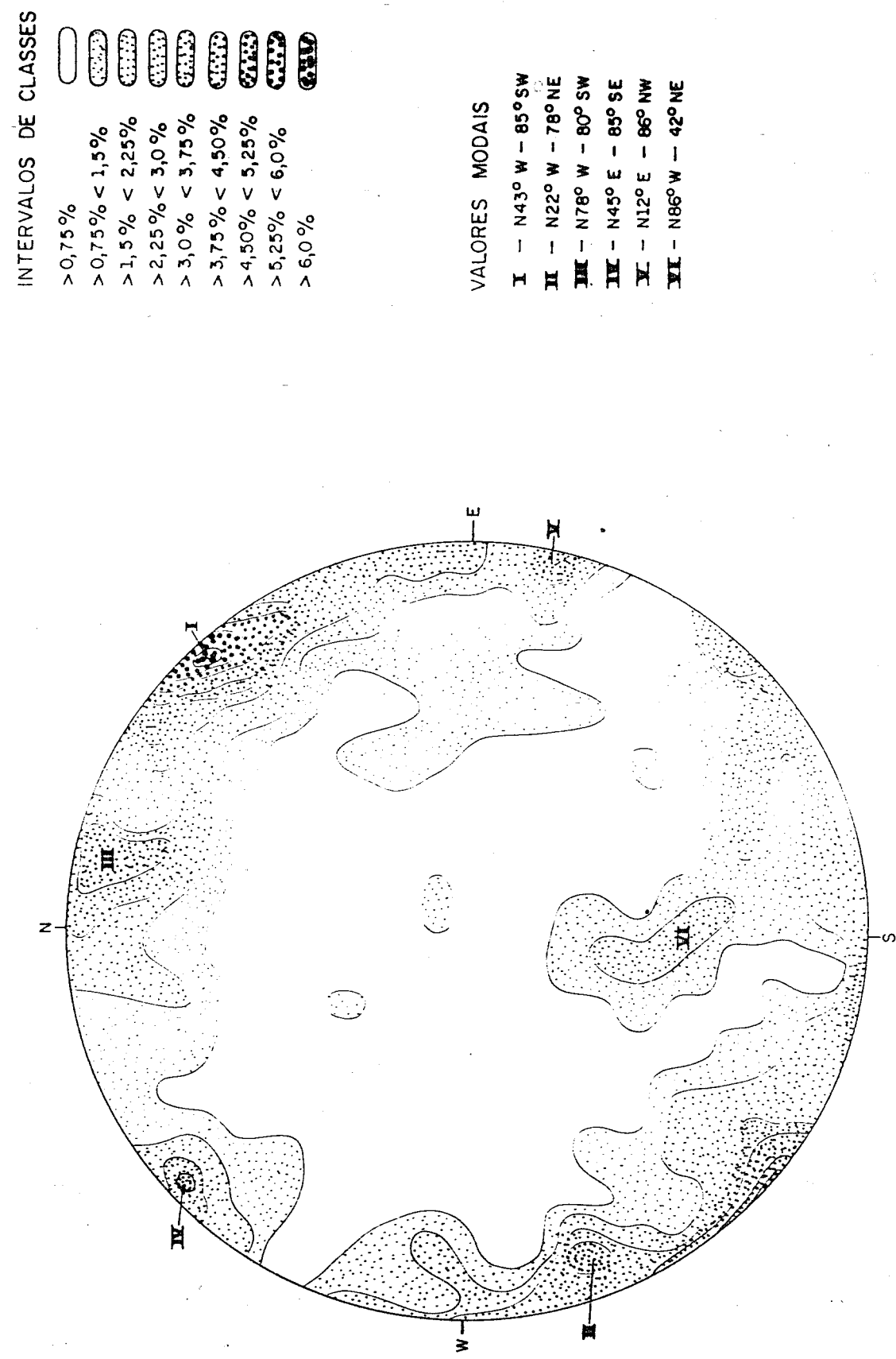
INTERVALOS DE CLASSES
<0,4 %
>0,4 % <2,0 %
>2,0 % <3,6 %
>3,6 % <5,2 %
>5,2 % <7,0 %
>7,0 % <8,4 %
>8,4 % <10,0 %
>10,0 % <11,6 %
>11,6 %

VALORES MODAIS

- I - N 75°W, 85°SW
- II - N 45°W, 85°NE
- III - N 4°E, 84°NW
- IV - N 50°W, 42°NE
- V - N 76°W, 50°SW
- VI - N 58°E, 85°NW

DIAGRAMA 01

CATACLASITOS
 (FRATURAS SEM PREECHIMENTO E SEM INDICAÇÃO DE REJEITO)
 Nº DE MEDIDAS = 195



CATACLASITOS
(MILONITIZAÇÃO)
Nº DE MEDIDAS = 27

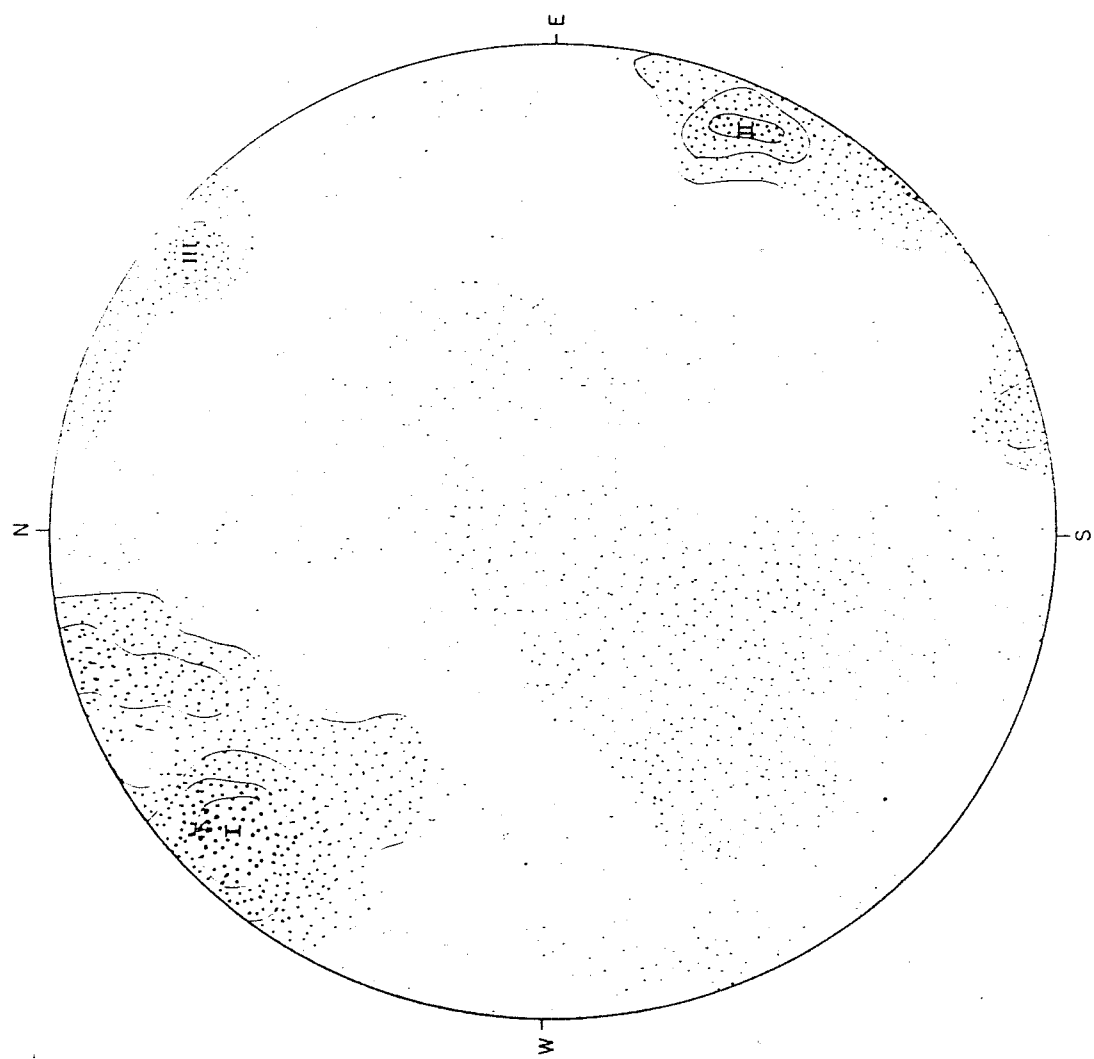
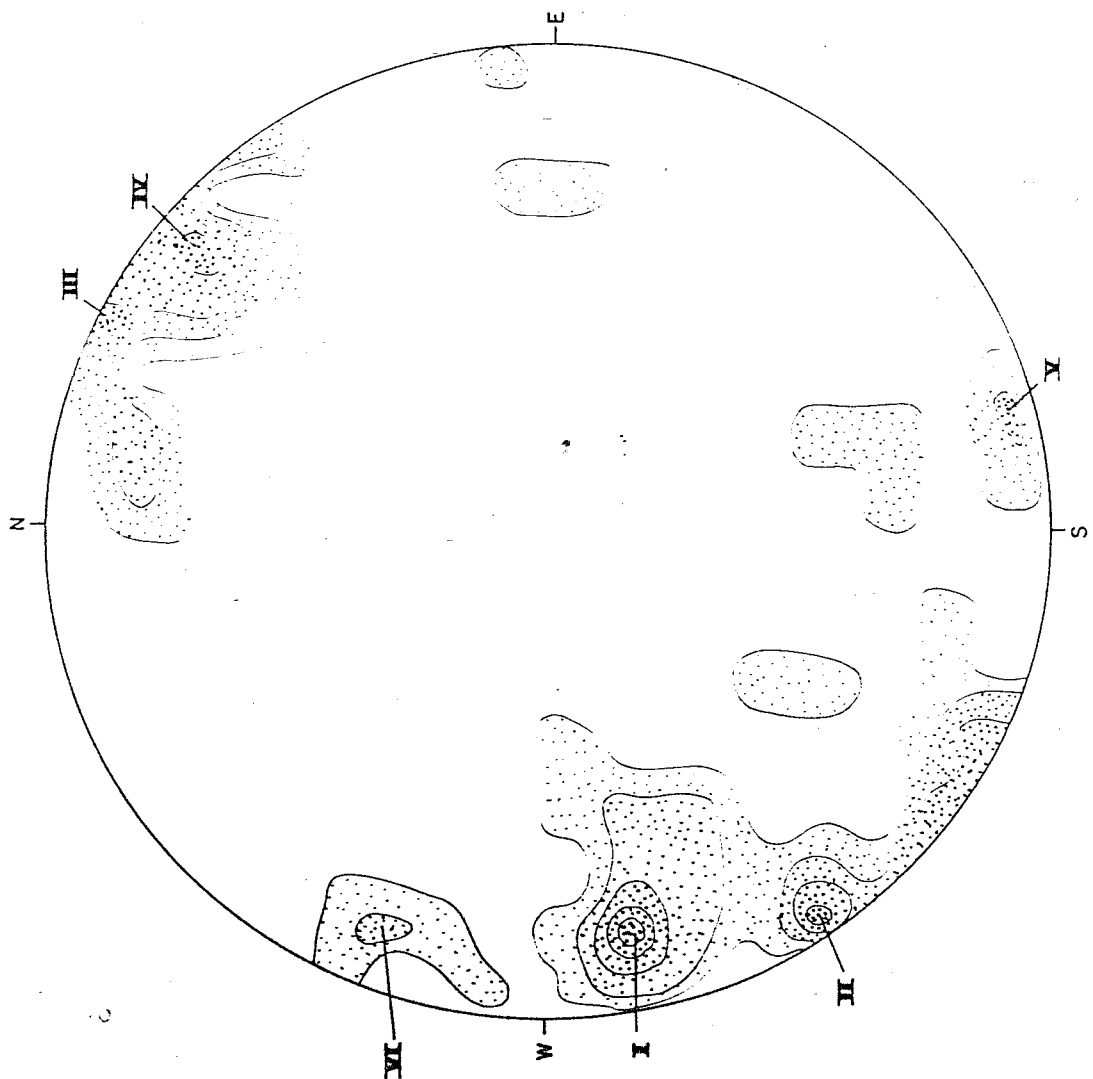


DIAGRAMA 03

CATACLASITOS
(FRATURAS COM REJEITO)
Nº DE MEDIDAS = 36

INTERVALOS DE CLASSES

- > 1,4 %
- > 1,4 % < 4,2 %
- > 4,2 % < 7,0 %
- > 7,0 % < 9,8 %
- > 9,8 % < 12,6 %
- > 12,6 % <

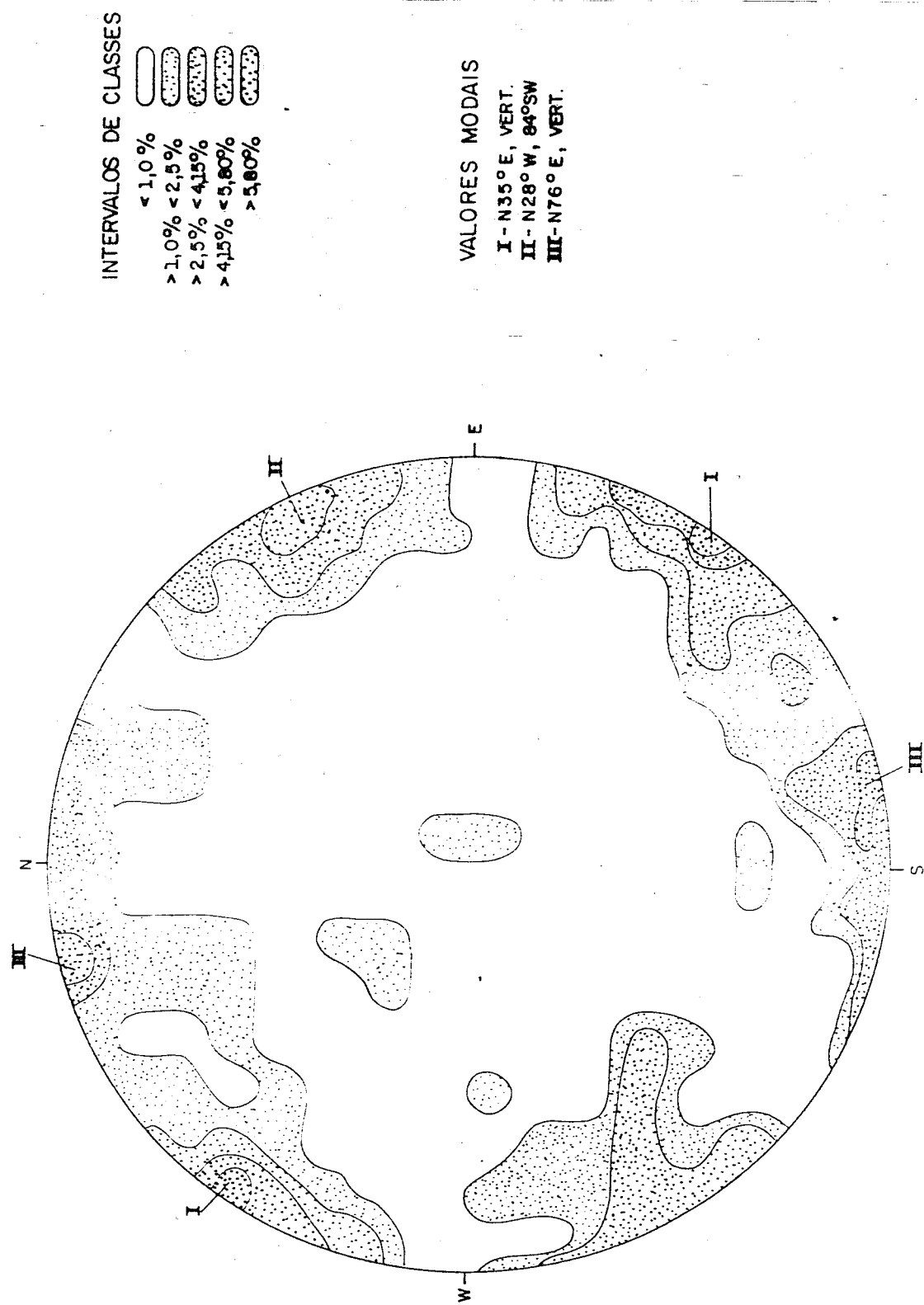


VALORES MODAIS

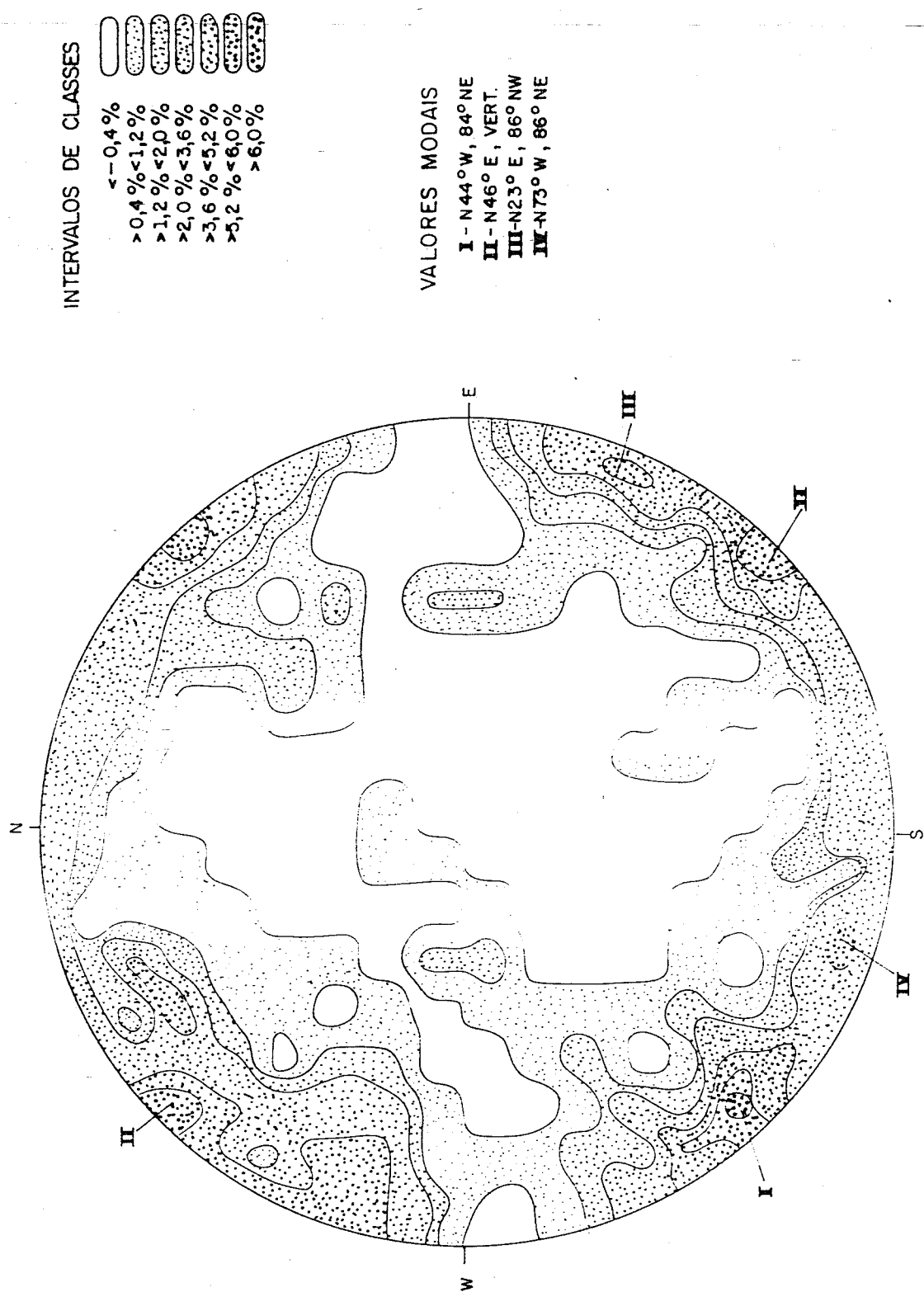
- I - N 112° W - 72° NE
- II - N 34° W - 85° NE
- III - N 64° W - 86° SW
- IV - N 51° W - 77° SW
- V - N 74° E - 85° NW
- VI - N 23° E - 76° SE

DIAGRAMA 05

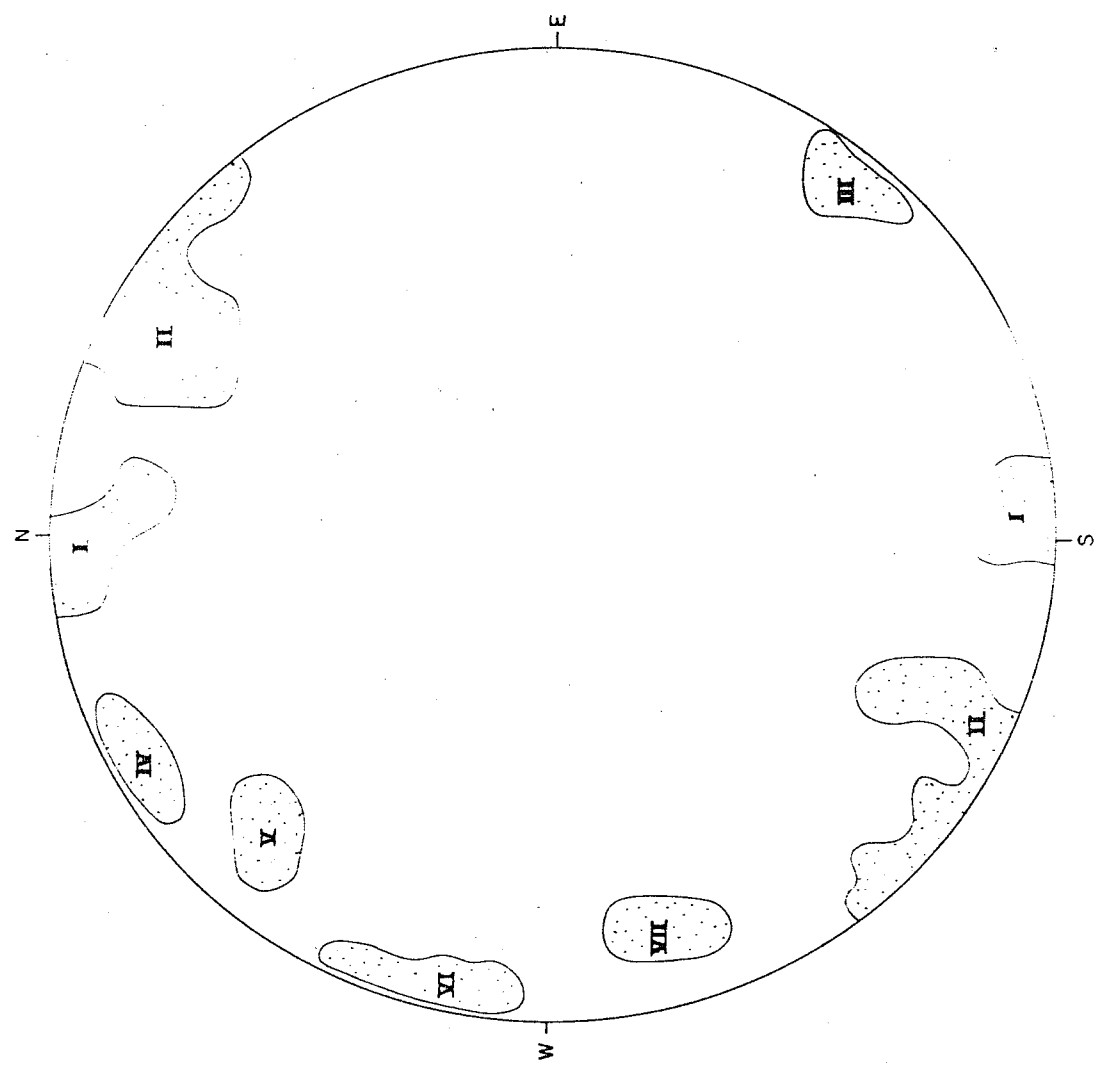
GRANITO NAGIB SILVA
(COM FRATURAS PREENCHIDAS SEM INDICAÇÃO DE REJEITO)
Nº DE MEDIDAS = 59



GRANITO NAGIB SILVA
 (FRATURAS SEM PREENCHIMENTO E SEM INDICAÇÃO DE RELEITO)
 Nº DE MEDIDAS = 132



GRANITO NAGIB SILVA
(FRATURAS COM REJEITO)
Nº DE MEDIDAS = 12



INTERVALOS DE CLASSES

< 4,2 %



> 4,2 %



VALORES MODAIS

- I - N86° E, VERT.
- II - N54° W, VERT.
- III - N39° E, 83° NW
- IV - N60° E, 85° SE
- V - N41° E, 72° SE
- VI - N14° E, 82° SE
- VII - N17° W, 72° NE

Minerais do Pará S/A
BIBLIOTÉCA

02 - FICHAS DE DESCRIÇÃO MICROPETROGRÁFICA

MÍNEROPAR
MINERAIS DO PARANÁ S.A.

FICHA DE ANÁLISE PETROGRÁFICA

FICHA N.º

PROJETO NAGIB SILVA

PONTO N.º DF-1961 AMOSTRA N.º 1961 DATA 12/09/85

PROCEDÊNCIA NAGIB SILVA / COPIVARI - PARDO TIPO DE AMOSTRA ROCHA.

COLETOR DICLECIO

QUADRÍGULA Moya de Contos -

FOLHA GEOLÓGICA BORRADO DO TURVO

F1 F2

DESCRÍÇÃO DE AFLORAMENTO

Afloramento na parte da estrada, totalmente alterado, preservando apenas alguns blocos. Rocha aparentemente de estrutura macia, mostrando algumas foliações na parte alterada. Esse tipo pode ser parte dos picões calcos-silicáticos.

Solicita-se: identificação mineralógica
- tipos petrográficos.
- origem.
- hidrotermalismo?

DESCRÍÇÃO MACROSCÓPICA

Cor Verde clara.

Granulação Média.

Textura Granoblastica?

Estrutura Marca?

Grau de intemperismo Fraco.

Ataque HCl Negativo.

Minerais identificados Feldspato, Anorto, Epidoto,

Classificação Gneisse Leucocárdo.

DESCRÍÇÃO MICROSCÓPICA

A) Textura

B) Granulação Em Rocha aproximadamente equigranular

Em recaia heterograngular Matriz cu base

Mineral	%
1) quartzo	—
2) diópsídio	—
3) plagioclásio	—
4) ortoclásio	—
5) titanita	—
6) zoisita	—
7) sericitá	—
8) mafita	—
9) apatita	—
10) zircão	—

D) Descrição dos Minerais e Relações Texturais

A rocha é constituída essencialmente por quartzo e diópsídio, secundados por feldspatos.

O quartzo se destaca entre os minerais presentes na lâmina pela sua quantidade. É completamente anédico, recristalizado, alongado segundo a orientação da rocha, e tem granulação variável, sendo seus cristais maiores circundados por outros de menor porte. Aponta evidências de tensionamento como fracturação, fortíssima extinção ondulante e contatos suturados. Engloba, algumas vezes, restos de feldspato e cristais de piroxênio.

O piroxênio presente, diópsídio, é incolor ou levemente esverdeado, subidioblastico a xenoblásticos, batizado, às vezes malado. Nota-se que raros cristais apresentam indícios de mafitização. Também o leve tom esverdeado que alguns exibem talvez seja um princípio de substituição. Comportam cristais relicários de feldspato e algum quartzo.

Os antigos cristais de feldspato, muito raramente, têm suas formas externas conservadas, em geral, mostram-se completamente saussuritzados. Ocorrem comumente em massas disformes dispostas entre os minerais essenciais.

Associam-se aos piroxenios em quantidade de expressiva (ap. 3%), cristais anédicos de titanita e raras pontuações de opacos, formadas por alteração dos piroxenios.

A intensa cuitolização do quartzo, assim como, a saussuritzação dos feldspatos podem ser causadas por um processo de natureza hidrotermal.

A ausência de minerais maficos e aluminosos (cordierita, sillimanita, andaluzita), sugerem tratar-se de um ortogneisse, muito embora, esta hipótese só pode ser confirmada através das relações de campo.

E) Classificação: Gneiss calcosilicático

MINEROPAR
MINERAIS DO PARANÁ S.A.

FICHA DE ANÁLISE PETROGRÁFICA

FICHA N.º

PROJETO..... NAGIB SILVA

PONTO N.º 3F-1983 AMOSTRA N.º 1983 DATA 12/09/85

PROCECÊNCIA NAGIB SILVA / CAPIVARI - PARDO TIPO DE AMOSTRA ROCHA

COLETOR D. CLEÓCIO

QUADRÍSCULA Mata de Pontes

FOLHA GEOLÓGICA BARRA DO TURVO

F1 F2

DESCRÍÇÃO DE AFLORAMENTO

Rocha pertence à uma
sequência denominada de SEQUENCIA UBERABA,
na base de Verificações de Anomalias (Anomalia 23).
Afloram rochas cataclásticas e miloníticas.
Semelhante a amostra OF.899-B.

Solicita-se:

Identificação mineralógica.
Tipos petrográficos.
Origem.
Eventos hidrotermais.

DESCRÍÇÃO MACROSCÓPICA

Cor Cinza-rosada.

Granulação fina

Textura Cataclastica.

Estrutura Monoc.

Grau de intemporeamento fraco

Ataque HCl negativo.

Minerais identificados Anato, feldspato, sulfeto.

Classificação

DESCRÍÇÃO MICROSCÓPICA

A) Textura

B) Granulação: Em rocha aproximadamente equigranular

Em rocha inéquigranular: Matriz cu base

Mineral %

- 1) plagioclásio
- 2) ortoclásio
- 3) microclíneo
- 4) quartzo
- 5) biotita
- 6) clorita
- 7) sulfetos
- 8) titanita
- 9) zircão
- 10) apatita

Mineral %

- 11)
- 12)
- 13)
- 14)
- 15)
- 16)
- 17)
- 18)
- 19)
- 20)

D) Descrição dos Minerais e Relações Texturais

Os cristais que se destacam em relação à matriz são de plagioclásio, quartzo, ortoclásio e microclíneo. Os feldspatos devem ser bem cristalizados, subídicos a euídicos, como atestam alguns cristais bem conservados, mas devido aos esforços a que foram submetidos, são ligeiramente arredondados nos bordos, seicitzados e alterados para minerais de aigila, fraturados e mesmo desagregados em diversos fragmentos, mascarando suas condições primitivas. O quartzo é completamente anídrico, algo alongado, sendo seus cristais maiores circundados por outros finamente cristalizados. A esta última, somam-se outras evidências de tensionamento, como fraturamento, fortíssima extinção ondulante e contatos suturados.

A matriz da rocha é constituída por um agregado microcristalino de grãos de quartzo, feldspatos, num sempre perfeitamente discerníveis, associados a algumas lamelas de micas.

A ação cataclástica forneceu a rocha uma incipiente orientação local do quartzo, bem como, neomineralização deste mineral e seicita. Além disso observam-se microfraturas, com padrão de distribuição, preenchidas por minerais micáceos, associados a sulfetos bem cristalizados.

Foram observados alguns cristais de titanita, zircão e apatita que completam a mineralogia da rocha.

A composição mineralógica sugere tratar-se de uma rocha do clã dos granitos que foi submetida à metamorfismo dinâmico.

E) Classificação Bataclásito

Data 26/09/05

Analista

Rosa Maria

PROJETO N.º NAGIB SILVA

PONTO N.º OF-1991 AMOSTRA N.º OF-1991 DATA 12/09/85

PROCELENCIA NOGIB SILVA / CAPIVARI - PARDO TIPO DE AMOSTRA ROCHA.

COLETOR DICLECIO

QUADRÍCULA

Mapa de ponto.

FOLHA GEOLÓGICA

BARRAS DO TURVO.

F1 F2

DESCRÍÇÃO DE AFLORAMENTO

Afloramento sob forma de blocos isolados. Essa rocha é semelhante à descrita no ponto OF-901, como seriamitito. Não poderia ser RIOLENTO?

Solicita-se identificação mineralógica

Tipo litológico

Dijem.

Comparação com OF-901

DESCRÍÇÃO MACROSCÓPICA

Cor Rosada.

Granulação Média.

Textura Granoblastica.

Estrutura Planar.

Grau de intemperismo Médio

Ataque HCl Negativo.

Minerais Identificados Quarts, Feldspato.

Classificação

DESCRÍÇÃO MICROSCÓPICA

A) Textura

B) Granulação: Em Rocha aproximadamente equigranular

Em rocha inaquirangular:

Matriz ou base

Mineral

%

Mineral

%

- 1) fénocristais: _____
 2) quartzo _____
 3) feldspato K _____
 4) opacos _____
 5) _____
 6) matriz: _____
 7) feldspato K _____
 8) quartzo _____
 9) plagioclásio _____
 10) biotita _____

- 11) clorite _____
 12) mica-circita _____
 13) opacos _____
 14) _____
 15) _____
 16) _____
 17) _____
 18) _____
 19) _____
 20) _____

D) Descrição dos Minerais e Relações Texturais

A rocha exibe fénocristais de quartzo subídicos a euídicos, às vezes, com terminações piramidais, extinção ondulante e bordos lobados (provavelmente por corrosão magnética). Acomem em cintas isoladas ou agrupados.

Os fénocristais de feldspato potássico, representados pelo ortoclásio, são subídicos a euídicos, fortemente pertilitizados e algo caolinizados. Nestas golfinhos de corrosão se acham-se agrupados ou dispostos na parte central de alguns esférulitos.

Observam-se também microporfíros de minerais opacos com forma euídicas a subídicas, algumas vezes, com bordos conoidais pelo material da matriz. Em geral, acham-se associados à cintas de micas.

A matriz da rocha é constituída por esférulitos e rares, pequenos cintais de quartzo e plagioclásio. Os esférulitos consistem de uma massa densa de finas agulhas intercruzadas de quartzo e feldspato K, pontilhada de minerais opacos.

Esta amostra assemelha-se à DF-889B, DF-884A, DF-901 e DF-2038.

E) Classificação Sienito porfítico esférulítico

Data 26/09/85

Analista Rosa Maria

MINEROPAR
MINERAIS DO PARANÁ S.A.

FICHA DE ANÁLISE PETROGRÁFICA

FICHA N.º

PROJETO NAGIB SILVA

PONTO N.º DF. 2002 AMOSTRA N.º DF. 2002 DATA 12/09/85

PROCEDÊNCIA NAGIB SILVA / CAPIVARI-PARDO TIPO DE AMOSTRA ROCHA.

LEITOR DICLECIO

QUADRÍCULA Mapa do Contato.

FOLHA GEOLÓGICA BARRA DO TURVO

F1 F2

DESCRÍÇÃO DE AFLORAMENTO

Região onde afloram rochas graníticas bandadas, localmente mostram transposições tectônicas.

Sólido - se: Identificações mineralógicas
Tipo: litológico.

Origem:

Presença de hidrotromelismos?

.....

DESCRÍÇÃO MACROSCÓPICA

Cor: Cinza escuro.

Granulação: Fina

Textura: Sono-granoblastica.

Estrutura: Foliada.

Grau de intemperismo: Baixo

Ataque HCl: Negativo.

Minerais identificados: Biotita, quartzo,

Classificação:

DESCRÍÇÃO MICROSCÓPICA

A) Textura:

B) Granulação: Em rocha aproximadamente equigranular

Em rocha irregulamente

Matriz ou base

C) Composição modal (% vol.): Estimada visualmente

Mineral	%
1) plagioclásio	
2) quartzo	
3) micaclínico	
4) biotita	
5) muscovita	
6) epidoto	
7) zoisita	
8) titanita	
9) apatita	
10) ópacos	

D) Descrição dos Minerais e Relações Texturais

Trata-se de uma rocha de composição ácida, provavelmente originada de um granito, que foi submetida à deformação plástico-rígida, evidenciada por fôrmas cataclásticas.

O processo de recrôminalização foi bastante intenso, originando a formação de quartzo, epidoto-zoisita, titanita, apatita e grãos cistais de feldspato.

Calculada

Mineral	%
11)	
12)	
13)	
14)	
15)	
16)	
17)	
18)	
19)	
20)	

E) Classificação: Milonito-granito

Data 27/09/85

Analista

Paulo Henrique

PROJETO **NAGIB SILVA**

PONTO N.º DF 2004 AMOSTRA N.º 3F 2004 DATA 12/09/85

PROCEDÊNCIA **NAGIB SILVA / CAPIVARI - PARDO** TIPO DE AMOSTRA **ROCHA B.**COLETOR **DICLÉCIO**QUADRÍCULA **Mesa do Contor**FOLHA GEOLÓGICA **BARRA DO TURVO.**F1 F2

DESCRÍÇÃO DE AFLORAMENTO

No reiço predominam rochas graníticas, catódrosofes, localmente mostram transporções tectônicas. Nesse ponto aflora uma rocha de granulação fina, bastante densa, cor escura e impregnada de sulfatos. Pertence ao mesmo perfil da amostra DF.00.

Solicita-se:

- Identificação mineralógica.
- Tipos litológicos.
- Origen.
- Comodidade de hidromelismos?

DESCRÍÇÃO MACROSCÓPICA

Cor **Escura**Granulação **Fina**Textura **Catódostica**Estrutura **Foliada**Grau de intemperismo **Baixo**Ataque HCl **Algo frivo.**Minerais identificados **Analcite, pinita.**Classificação **Milomito**

DESCRÍÇÃO MICROSCÓPICA

A) Textura

B) Granulação: Em Recha - aproximadamente equigranular

Em rocha - ineqüigranular;

Matriz ou base

C) Composição modal (% vol.): Estimada visualmente

Calculada

Mineral %

Mineral %

- 1) plagioclásio
- 2) quartzo
- 3) mica-circita
- 4) clorita
- 5) biotita
- 6) apatita
- 7) carbonato
- 8) epidoto
- 9) sulfetos
- 10)

- 11)
- 12)
- 13)
- 14)
- 15)
- 16)
- 17)
- 18)
- 19)
- 20)

D) Descrição dos Minerais e Relações Texturais

A amostra exibe níveis descontínuos de granulação muito fina, constituídos por minerais micaicos, associados a porfiroclastos de feldspatos e uma massa quartzo-feldspática milonitizada. Localmente, observa-se a presença de quartzo e mica-circita recristalizados, evidenciando um processo de neo-mineralização. Estes níveis acham-se intercalados com outros de granulação mais grosseira, compostos por porfiroclastos de feldspato alterados para sericitá, minerais de ilígida e carbonato, relacionados a quartzo e sulfetos neoformados e biotita cloritizada. Constatou-se também a ocorrência de níveis que se que exclusivamente monominerólicos, caracterizados por quartzo alongado, bordos serrilhados, extinção fortemente ondulante, grã variaável, de origem hidrotermal.

As características texturais e mineralógicas sugerem tratar-se de uma rocha gnássica que foi submetida a metamorfismo cataclástico de forte intensidade.

E) Classificação Melanito gnaisse

27. 09. 85

Analista Rosa Maria

MINEROPAR
MINERAIS DO PARANÁ S.A.

FICHA DE ANÁLISE PETROGRÁFICA

FICHA N.º

PROJETO **NACIB SILVA**

PONTO N.º DF 2013 AMOSTRA N.º DF 2013 DATA 12-09-85

PROCEDÊNCIA **NACIB SILVA / COPIVARI - PARDO** TIPO DE AMOSTRA **ROCHA**

COLETOR **DICLÉCIO**

QUADRÍCULA **Mesa de Contos**

FOLHA GEOLÓGICA **BORRA DO TURVO**

F1 F2

DESCRÍÇÃO DE AFLORAMENTO

Rocas pertencentes ao mesmo perfil da ponta DF 2004. Pertencem à uma zona de fraturas, próximas à região da FALHA DO PUTUNA.

- dolimita-se:
- Identificações mineralógicas.
- Tipos litológicos.
- Origem.
- Presença de hidratometalismo?

DESCRÍÇÃO MACROSCÓPICA

Cor

Granulação

Textura

Estrutura

Grau de intemperismo

Ataque HCl

Minerais identificados

Classificação

DESCRÍÇÃO MICROSCÓPICA

A) Textura

B) Granulação: Em rocha aproximadamente equigranular

Em rocha inequigranular; Matriz ou base

Mineral	%	Mineral	%
1) banda 1:		11) banda 2:	
2) ferroactinolita		12) quartzo	
3) quartzo		13) plagioclásio	
4) flogopita		14) biotita	
5) titanita		15) muscovita	
6) sericitá		16) apatita	
7) zoisita		17) turmalina	
8) carbonato		18) zircão	
9) apatita		19) opacos	
10) clouta		20)	

D) Descrição dos Minerais e Relações Texturais

Observa-se ao microscópio bandas bastante distintas mineralogicamente e texturalmente.

A primeira banda é constituída essencialmente por grandes cristais de ferroactinolita com pleocroísmo em tons verde. Esta tonalidade verde, localmente é esmaecida, provavelmente, pelo fato da liberação de titânio, que forma grumos irregulares na superfície dos anfíbolios ou cristais euédricos a subédricos de titanita. Entre os cristais de anfíbolo ocorre uma massa de grãos muito fina, formada por sericitá, algum quartzo, carbonato e zoisita, originados a partir da alteração do próprio anfíbolo. Foram vistos ainda quartzo e carbonato recristalizados, cloutá oriunda da alteração dos anfíbolios e flogopita. Embora se note transformações texturais e mineralógicas evidenciadas pelo isolamento dos minerais e ação hidrotermal com consequente alteração dos mesmos, as características desta parte da rocha indicam uma composição básica, de natureza anfibolítica.

A segunda banda é formada por material quartzo-feldspáttico cislhado, intercalado com estruturas faixas mais micáceas. Observa-se a presença de rúvas descontínuas compostas quase que exclusivamente por quartzo finamente cristalizado, alongado, com extinção fortemente ondulante, de natureza hidrotermal. Constitui-se uma orientação bastante acentuada nesta banda, provavelmente, original da rocha petrítica, que com a ação de esforços de tensão tornou-se mais acentuada. Além da catadase a ação de um processo hidrotermal é distinguível pela reomineralização de quartzo e alguma biotita, assim como, pela lixiviação de Fe deste último mineral. A catadase nesta banda é bem mais visível do que na primeira, talvez pela natureza de sua composição.

Traça-se de um gnaisse, com bandas anfibolíticas intercaladas, com outras de composição mais acida.

E) Classificação Melanito - gnaisse bandado

MINEROPAR
MINERAIS DO PARANÁ S.A.

FICHA DE ANÁLISE PETROGRÁFICA

FICHA N.º

PROJETO NAGIB SILVA

PONTO N.º DF-2020 AMOSTRA N.º DF-2020 DATA 12/9/85

PROCEDÊNCIA NAGIB-SILVA / CAPIVARI - PARDO TIPO DE AMOSTRA ROCHA

COLETOR D. CLEÓCIO

QUADRÍCULA Neve de Contas.

FOLHA GEOLÓGICA BARRA DO TURVO

F1 F2

DESCRÍÇÃO DE AFLORAMENTO

Região onde predominam rochas graníticas. Neste ponto o bordamento se dá por catedse?

Solicita-se: Textura mineralógica tipo litológico
Origem.
Presença de hidrotermalismo?

Obs: O afloramento está situado próximo a foz do Rio Tumã.

DESCRÍÇÃO MACROSCÓPICA

Cor Cinza-rosada.

Granulação fina.

Textura tabular.

Estrutura foliada.

Grau de intemporalismo baixo

Ataque HCl nulo.

Minerais identificados Anfíls, Feldspato, Epidoto.

Classificação

DESCRÍÇÃO MICROSCÓPICA

A) Textura

B) Granulação: Em rocha aproximadamente equigranular

Em rocha inegranular

Matriz ou base

C) Composição modal (% vol.): Estimada visualmente

Calculada

Mineral	%
1) plagioclásio (oligoclásio)	—
2) quartzo	—
3) clorita	—
4) epidoto	—
5) apatita	—
6) titanita	—
7) opacos	—
8)	—
9)	—
10)	—

Mineral	%
11)	—
12)	—
13)	—
14)	—
15)	—
16)	—
17)	—
18)	—
19)	—
20)	—

D) Descrição dos Minerais e Relações Texturais

A amostra é essencialmente constituída por feldspato e quartzo associados à clorita intersticial, finamente cristalizada. Os feldspatos mostram uma ligação alteração para sericitá, raro epidoto e minerais de argila.

A catodase é evidenciada pelo ciaqueamento dos minerais. A rocha não mostra nenhuma orientação. Nota-se uma intensa reomobilização de quartzo, que se distribui de maneira caótica pela rocha. O quartzo neoformado é totalmente irregular, bordos serrilhados, granularização varada e extinção fortemente ondulante. Sua formação possivelmente esteja relacionada à catodase associada à hidrotermalismo.

A rocha não exibe minerais índices que possam dar subsídios para uma provável origem sedimentar ou ígnea, portanto, somente os dados de campo poderão solucionar a questão. Sua composição mineralógica e aspectos texturais sugerem tratá-la de um gneisse que foi afetado por metamorfismo cataclástico com ação hidrotermal.

E) Classificação

Gneisse cataclásado e hidrotermalizado

PROJETO NACIB SILVA

PONTO N.º DF-2028 AMOSTRA N.º DF-2028 DATA 12/09/85

PROCEDÊNCIA NAGIB SILVA/CAPIVARI-PARDO TIPO DE AMOSTRA ROCHAS.

COLETOR DICLECIO.

QUADRÍCULA Mapa de Contos.

FOLHA GEOLÓGICA BORRADO TURVO.

F1 F2

DESCRÍÇÃO DE AFLORAMENTO

Rifões onde afloram desde
biotita xistos pôns leiolitos até quartzitas
impuras biotíticas. Esses tipos litológicos deve
fazer parte da Sequência Turvo-Cajati.

Licitaria-se: Identificação mineralógica.

Tipo litológico.

Origem.

Eventos hidrotermais.

DESCRÍÇÃO MACROSCÓPICA

Cor Amareloada.

Granulação Média

Textura Grano-blastica.

Estrutura Maciça, pôns foliada.

Grau de intemperismo Baixo.

Ataque HCl Negativo.

Minerais identificados Angra, botela,

Classificação

DESCRÍÇÃO MICROSCÓPICA

A) Textura

B) Granulação Em faceira aproximadamente equigranular

Em rocha oligograngular; Matriz em base

Mineral

%

Mineral

%

- 1) quartzo
- 2) biotita
- 3) granada
- 4) muscovita
- 5) plagioclásio
- 6) microclínio
- 7) clorita
- 8) apatita
- 9) zircão
- 10) opacos

- 11) rutilo
- 12)
- 13)
- 14)
- 15)
- 16)
- 17)
- 18)
- 19)
- 20)

D) Descrição dos Minerais e Relações Texturais

A rocha é constituída essencialmente por quartzo e biotita (com dominância do quartzo), secundados por uma gama de minerais dos quais se destacam muscovita, granada e feldspatos. Clorita, opacos e rutilo aciculir são minerais esporádicos, originados à partir da alteração da biotita e granada. Apatita e zircão são acessórios pouco comuns na amostra.

A rocha guarda numa certa orientação da rocha preterita, que foi quase que totalmente anulada pela atuação de esforços de tensão e hidrotermalismo. A ação cataclástica é evidenciada pela presença de microfraturas preenchidas por óxido de ferro, cisalhamento dos minerais, "kink-bands" nas micas e extinção fortemente ondulante do quartzo. O evento hidrotermal é caracterizado pela transformação da biotita e da granada, bem como, pela formação de estruturas veios formados por quartzo e feldspato potássico. Este último evento foi mais intenso do que o primeiro.

Treat-se, portanto, de uma rocha de origem pélítica, submetida à metamorfismo regional de grau parox (zona da granada), com posterior tensionamento associado à hidrotermalismo.

E) Classificação Granada-biotita xisto cataclásado e hidrotermalizado

Data 04.10.185

Analista Rosa Maria

PROJETO NAGIB SILVA

DF 2037 DATA 12/09/85

PROCESSO NAGIB SILVA / CAPIVARI-PARDO MUSEU ROCAS

COLOR DICLECIO

Mape de pontos.

LOCAL GEOLOGICO SERRA DO TURVO

F1 F2

DESCRÍÇÃO DE ANOMALIAS

DF 1983-A, aspectos macios com grande quantia de sulfeto.

Sintese: Identificação mineralógica.
Tipos de blocos.
Origem.
Eventos hidrotérmais.

Obs: Comparar com DF 1983-A

CLASSIFICAÇÃO

Anomalias rosada
Medio
Grossoblastica.

Médio

Médio
Negativo.

CLASSIFICAÇÃO

Laxura

Graudalas

Márc. em base

Mineral %

- 1) quartzo
- 2) feldspato K
- 3) plagioclásio
- 4) sericitá
- 5) sulfetos
- 6)
- 7)
- 8)
- 9)
- 10)

Mineral %

- 11)
- 12)
- 13)
- 14)
- 15)
- 16)
- 17)
- 18)
- 19)
- 20)

D) Descrição dos Minerais e Relações Texturais

Amostra semelhante à DF-1983 A. Ver a descrição da mesma.

E) Classificação Batalcito

Data 04/10/85

Análise

Losa Maria

PROJETO NAGIB SILVA

PONTO N.º DF-2035 AMOSTRA N.º DF-2035 DATA 12/09/85

PROCEDÊNCIA NAGIB-SILVA / CAPIVARI - PARDO TIPO DE AMOSTRA ROCHA.

COLETOR DICLECIO

QUADRÍCULA Mopra de Lente.

FOLHA GEOLÓGICA BARRA DO TUBO

F1 F2

DESCRÍÇÃO DE AFLORAMENTO

Afloramento isolado na
margem do rio. É o único afloramento
que mostra esse tipo de rocha granitoide
em meio a uma sequência gneissica
cataclásica.

Detalhes: Identificação mineralógica.
Tipo litológico.
Origem.

DESCRÍÇÃO MACROSCÓPICA

Cor Esbranquiçada

Granulação Média

Textura Granoblastica

Estrutura Monocristalina

Grau de intemperismo Mólio.

Ataque HCl Negativo

Minerais identificados Anato. Feldspato.

Classificação

DESCRÍÇÃO MICROSCÓPICA

A) Textura

B) Granulação: Em Rocha aproximadamente equigranular

Em rocha inequigranular; Matriz ou base

Mineral

%

- 1) ortoclásio
- 2) quartzo
- 3) plagioclásio
- 4) sericitá
- 5) clorita
- 6) biotita
- 7) zircão
- 8) turmalina
- 9) ilmenita
- 10) leucoxénio

Mineral

%

- 11) opacos
- 12)
- 13)
- 14)
- 15)
- 16)
- 17)
- 18)
- 19)
- 20)

D) Descrição dos Minerais e Relações Texturais

Trata-se de uma rocha granítica ligeiramente afetada por esforços de tensão. Onde o cisalhamento foi um pouco mais acentuado, observa-se a presença de uma massa felsica, pontuada de opacos, associada a minerais micáceos.

E) Classificação

Granito fracamente cisalhado

Data 04.10.85

Analista

Rosa Ipira

PROJETO NAGIB SILVA

POLO N.º DF-2038 AMOSTRA N.º DF-2038 DATA 12/9/85

PROCEDÊNCIA NAGIB SILVA / CAPIVARI - P.D.O. TIPO DE AMOSTRA ROCHA

COLETOR DICLECIO

QUADRÍCULA Massa de Pontos

FOLHA GEOLÓGICA BORRAS DO TURVO

F1 F2

DESCRIÇÃO DE AFLORAMENTO

Afloramentos isolados no corte da estrada. Trata-se uma rocha brechóide, composta por material tipo feldspátticos (granitoide? mafito?) e maficitos. A amostra apresenta-se fracturada e as fissuras preenchidas por calcita.

- Abordar-se:
- Identificação mineralógica
 - Tipos litológicos
 - Origem
 - Hidrotermalismo.

DESCRIÇÃO MACROSCÓPICA

Cor laranja - vermelha.

Granulação fina.

Textura granoblastica

Estrutura massiva

Grau de intempério baixo

Ataque HCl resfriado.

Minerais identificados Anatas, feldspato, Quarzo.

Classificação Brecha.

DESCRIÇÃO MICROSCÓPICA

A) Textura

B) Granulação: P = Rocha aproximadamente equigranular

Em rocha: homogênea | Matriz ou base

	Caixa	Mineral	0
1) ferrocaolais:			
2) oitodássio			
3) quartzo			
4)			
5) matriz:			
6) feldspato ↗			
7) plagioclásio (muito raro)			
8) quartzo			
9) biotita			
10) fluorita			
11) zircão			
12) ópacos			
13)			
14)			
15)			
16)			
17)			
18)			
19)			
20)			

D. Descrição dos Minerais

Massa semelhante à DF-1991. Ver a descrição da mesma.

Obs: A fluorita ocorre em veios de provável natureza hidrotermal associada ao quartzo.

Sienito porfítico esferulítico

04 10 85

Rosa Maria

MINEROPA

MICROSTOCCOL

ANÁLISE PETROGRÁFICA

FICHA N°

PROJETO **NAGIB SILVA**

DF-2046/VISTRA N° DF-2046 DATA 12/09/85

PROVENIÊNCIA **NAGIB SILVA/CAPIVARI-PARDO** TIPO DE AMOSTRA **ROCHA**

COLLECTOR **DICLECIO**

LOCAL **Mato Grosso do Sul**

AMBIENTE **BORRAS DO TURVO**

F1 F2

DESCRIÇÃO DE AFLOAMENTO

Afloamentos isolados dentro de sequências gnaissicas vistos no restante do perfil. Trata-se de rocha bastante densa, aspecto conglomerático.

Solicita-se: Identificação mineralógica
tipos cártilogicos
driftos.

LEITURA

Cinza e verdeada.
Média a grossa
granosblástica

Marcia

Boixo

Nefelina

Marcas de quartzo, manganita....

Classificações

DESCRIÇÃO

Textura

Granoqueira

Migmatite

Migmatite

3

- 1) plagioclásio
- 2) quartzo
- 3) biotita
- 4) clorita
- 5) muscovita
- 6) apofilita
- 7) titanita
- 8) turmalina
- 9) epidoto
- 10) zircão

ópacos

13)

14)

15)

16)

17)

18)

19)

20)

21)

22)

23)

24)

25)

Migmatite da Mineração

Traça-se de uma rocha de composição granítica fortemente hidrotermalizada. O evento hidrotermal é caracterizado pela intensa sericitização e epidotização (rara) dos feldspatos e alteração da biotita para clorita e ópacos. A formação da turmalina, possivelmente, está também relacionada ao processo hidrotermal que atuou sobre a rocha.

Granito fortemente hidrotermalizado

Rosa Maria

04 10 85

MINEROPAR
MINERAIS DO PARANÁ S.A.

FICHA DE ANÁLISE PETROGRÁFICA

FICHA N.º

PROJETO NAGIB SILVA

PONTO N.º X-1423 AMOSTRA N.º JC-302 DATA 12/9/85

PROCEDÊNCIA NAGIB SILVA / CAPIVARI PARDO TIPO DE AMOSTRA ROCHA

COLETOR JOÃO CARLOS BIONDI QUADRÍCULA Mato de Contas.

FOLHA GEOLÓGICA BARRA DO TURVO

F1 F2

DESCRÍÇÃO DE AFLORAMENTO

Regionalmente afloram finas, bandadas. Acredita-se que sejam margens melanossómicas.

Laticata-se: - Identificações mineralógica
- Tipos petrográficos.
- Comunal origin.
- Histotextualismo?

DESCRÍÇÃO MACROSCÓPICA

Cor Escuro - esverdeado

Granulação Fina

Textura Granoblastica?

Estrutura Plana, catacólica.

Grau de intemperismo Baixo.

Ataque HCl

Minerais identificados

Classificação Glossofíltica?

DESCRÍÇÃO MICROSCÓPICA

A) Textura

B) Granulação Em geral aproximadamente equigranular

Em tecido intergranular

Mátriz ou base

C) Composição modal (% vol.) Estimada visivelmente

Mineral	%
1) plagioclásio (andíssima?)	—
2) hornblenda	—
3) actinolita	—
4) clorita	—
5) carbonato	—
6) quartzo	—
7) epidoto	—
8) biotita	—
9) titanita	—
10) apatita	—

D) Descrição dos Minerais e Relações Texturais

Trata-se de uma rocha de composição básica (diorito?) que foi afetada por um intenso hidrotermalismo. As evidências da atuação do processo hidrotermal são caracterizadas por uma forte alteração dos minerais, pela presença de veios e fissuras preenchidos por carbonato e clorita. Os feldspatos acham-se fortemente saussuritizados e o anfíbolio original (hornblenda) é largamente substituído por actinolita, clorita, carbonato, epidoto e uma fina poeira de opacos.

A textura original, granular hipidiomórfica, mostra-se localmente conservada.

E) Classificação Rocha básica hidrotermalizada

Data 07/10/85

Analista

Luisa Maria

PROJETO NAGIB SILVA

PONTO N.º JC-1425, AMOSTRA N.º JC-303 DATA

PROCEDÊNCIA NAGIB SILVA / CASPIVARI PARDO TIPO DE AMOSTRA ROCHA

COLETOR JOÃO CARLOS BIONDI QUADRÍCULA Mapa de Ponto

FOLHA GEOLÓGICA Barroso do Turvo

F1 F2

DESCRÍÇÃO DE AFLORAMENTO

Afloramento de drenagem. Trata-se aí da sequência granítica, com variações composticionais das partes maficas. Trata-se de rocha densa, homogênea e sem foliação aparente.

Liticidade -
- Identificações mineralógica
- Tipo petrográfica
- Composição

DESCRÍÇÃO MACROSCÓPICA

Cor Escura.

Granulação Média a fina.

Textura Granoblastica.

Estrutura Variscana

Grau de intempérismo Baixo.

Ataque HCl Negativo.

Minerais identificados Feldspato, quartzo, bista.

Classificação Milonito feldespático?

DESCRÍÇÃO MICROSCÓPICA

A) Textura

B) Granulação: Em rocha - aproximadamente equigranular

Em rocha insquigranular;

Matriz ou base

C) Composição modal (% vol.): Estimada visualmente

Calculada

Mineral	%
1) plagioclásio	
2) quartzo	
3) clorita	
4) carbonato	
5) sericita	
6) epidoto (muito raro)	
7) zircão	
8) alunita	
9) apatita	
10) titanita	

D) Descrição dos Minerais e Relações Texturais

Trata-se de uma rocha de composição ácida, provavelmente um gnaisse, que foi submetido à esforços tectônicos causando um intenso cisalhamento dos minerais e remineralização de quartzo, clorita, carbonato, sericita, epidoto, alunita e opacos.

A amostra exibe localmente uma certa orientação que é perturbada pela presença de micropatões isentos de padrão de distribuição.

E) Classificação Milonito Gnaisse

Data 07/10 185

Analista Rosa Almeida

MINEROPAR
MINERAIS DO PARANÁ S.A.

FICHA DE ANÁLISE PETROGRÁFICA

FICHA N.º

PROJETO **NAGIB SILVA**

PONTO N.º JC-1439 AMOSTRA N.º JC 304 DATA 12/8/85

PROCEDÊNCIA **NAGIB SILVA / CAPIVARI - PARDO** TIPO DE AMOSTRA **ROCHA**

COLETOR **JOÃO CARLOS BIONDI** QUADRÍCULA **Região de Ponta Grossa**

FOLHA GEOLÓGICA **BORRAS DO TURVO**

F1 F2

DESCRÍÇÃO DE AFLORAMENTO

Afloramento de drenagem. Trata-se de rocha catacóltica, quartzo feldspática, intensamente hidotermalizada.

Solicita-se:
- Identificação mineralógica.
- Tipo petrográfico.
- Possível origem.

DESCRÍÇÃO MACROSCÓPICA

Cor **Escura - esverdeada**.

Granulação **Fina**.

Textura **Catacólica**.

Estrutura **Cores lúidas**.

Grau de intemperismo **Baixo**.

Ataque HCl **Reativo**.

Minerais identificados

Classificação **Imporfírico?**

DESCRÍÇÃO MICROSCÓPICA

A) Textura

B) Granulação: Em rocha aproximadamente equigranular

Em rocha inequigranular; Matriz ou base

Mineral

- 1) plagioclálio
- 2) clinoferroxénio
- 3) biotita titanírica
- 4) carbonato
- 5) apatita
- 6) titanita
- 7) anfíbolio?
- 8) pseudomorfos de óxima alterados
- 9) para serpentina.
- 10) opacos

D) Descrição dos Minerais

Trata-se de uma rocha ultramáfica, provavelmente um lâmpiofiro cuja composição mineralógica situa-se entre o campo dos kersantito e dos espessartitos.

Lâmpiofiro?

m 08 10 85

Rosa Maria

03 - RESULTADOS DE ANÁLISE QUÍMICA EM ROCHAS



GEOLAB

DIVISÃO DE LABORATÓRIOS DA

GEOSOL - Geologia e Sondagens Ltda.

BOLETIM DE ANÁLISE

N.º 58.507

CLIENTE: Minerais do Paraná S.A. MINEROPAR Setor: Capivari Pardo (S/Ref.: LOTE 104/85)
Área : Nagib Silva (N/Ref.: 69/077-5)

PEDIDO: Determinação de Pb e Bi por Absorção Atômica - Solubilização Total, Sn e Mo por Espectrografia Ótica em amostra de rocha.

AMOSTRA	Pb	Bi	Sn	Mo
nº	ppm	ppm	ppm	ppm
DF - 2032	43	< 10	47	7

Belo Horizonte, 03 de outubro de 1985.

Marcelo Fonecoa Cavalcanti
CRQ II N.º 02900278

CRC.

Análises geoquímicas e ensaios químicos para minérios, solos, rochas e águas
Espectrografia Ótica, Plasma ICP, Absorção Atômica, Fluorescência de Raios X e Via Úmida.

Laboratório em Belo Horizonte, MG - Rua Aimorés, 200 - Telefone (031) 221 5566 - Telex (031) 1786 - Req. no CRQ-II n.º 2036



GEOLAB

DIVISÃO DE LABORATÓRIOS DA

GEOSOL - Geologia e Sondagens Ltda.

BOLETIM DE ANÁLISE

N.º 58.506

CLIENTE: Minerais do Paraná S.A. MINEROPAR Setor: Capivari Pardo (S/Ref.: LOTE 104/85)
Área : Nagib Silva (N/Ref.: 69/077-5)

PEDIDO: Determinação de Cu, Pb e Zn por Absorção Atômica - Solubilização Total e F por Eletrodo de Ion Específico - Fusão Alcalina em amostras de rocha.

AMOSTRAS nºs	Cu	Pb	Zn	F
	ppm	ppm	ppm	ppm
DF - 1983B	11	73	228*	915
DF - 2038	69*	30	29	9250

* = Resultado confirmado.

Belo Horizonte, 03 de outubro de 1985.

Marcelo Fenzeca Cavalcanti

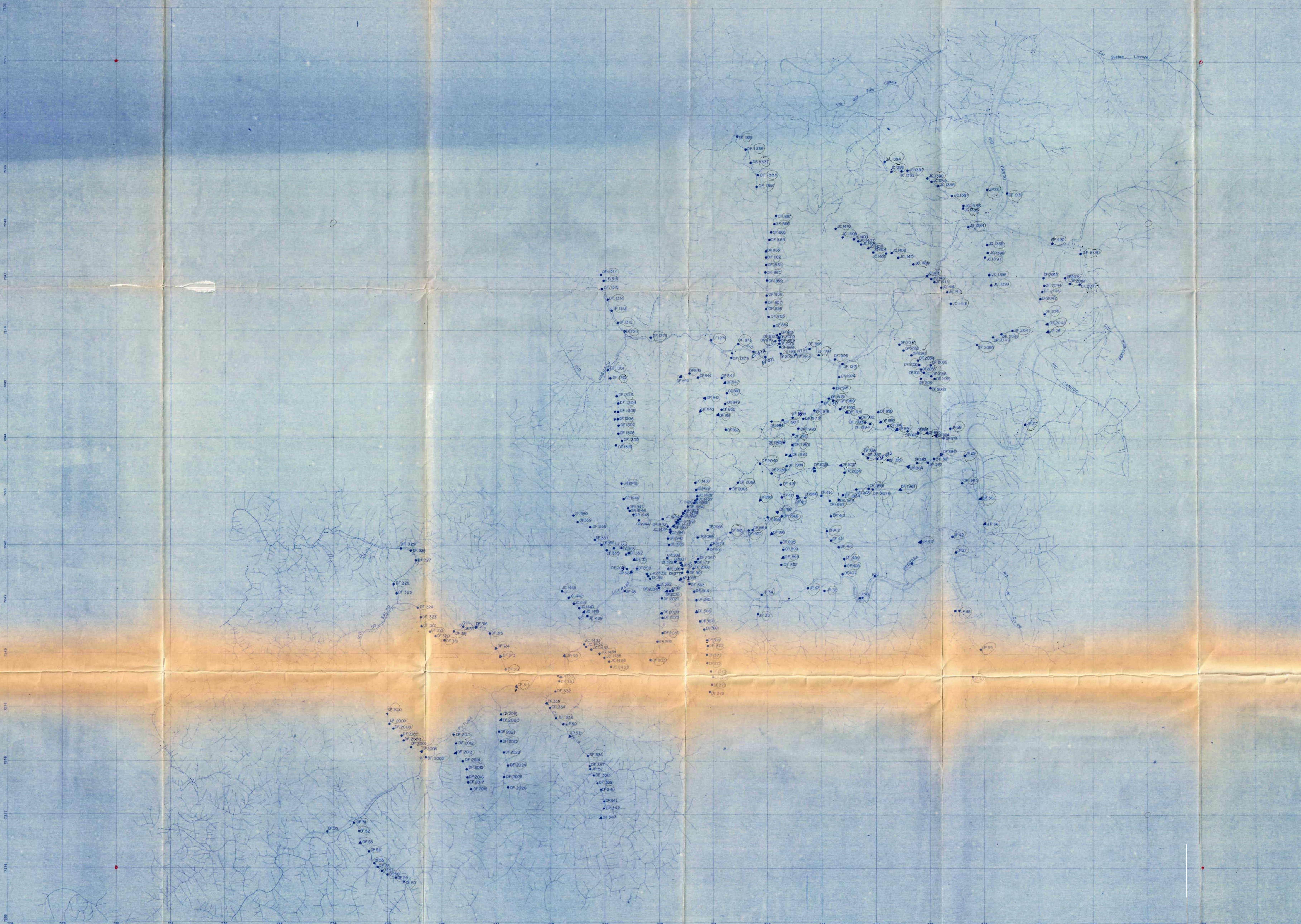
CRQ II N.º 02900278

CRC.

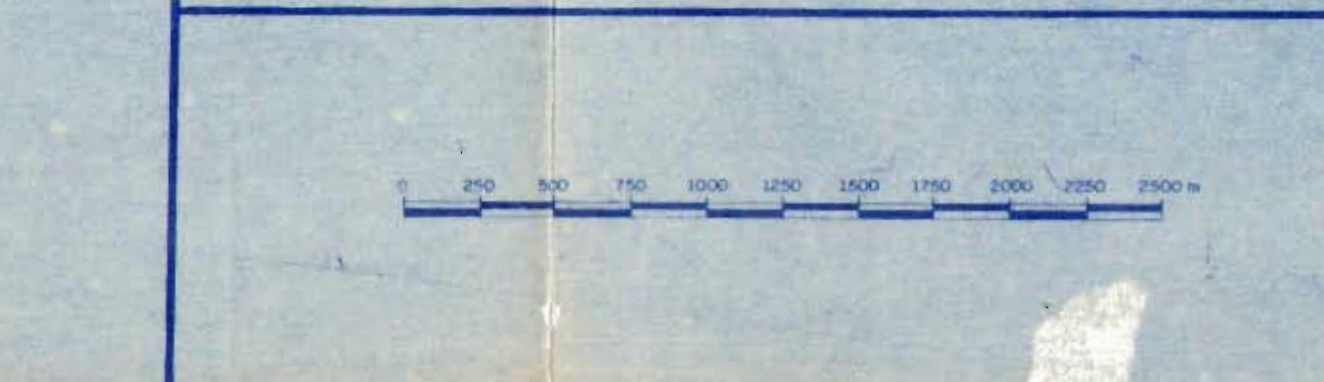
Análises geoquímicas e ensaios químicos para minérios, solos, rochas e águas
Espectografia Ótica, Plasma ICP, Absorção Atômica, Fluorescência de Raios X e Via Úmida.

Laboratório em Belo Horizonte, MG - Rua Aimorés, 200 - Telefone (031) 221 5566 - Telex (031) 1786 - Reg. no CRQ-II n.º 2036

04 - MAPA DE PONTOS - ESC. 1:25.000



ESCALA GRÁFICA



NORTE

0° 20' 40' 60'
LE 15°
A INCERIMENTO CARREIRA VIANO

CONVENÇÕES TOPOGRÁFICAS

DIRECÂM
ESTRADA
CAMINHO
COSTA

CONVENÇÕES GEOLÓGICAS

● PONTO DESERTO
▲ PONTO DESERTO COM AMOSTRA ENCAMINHADA PARA DESCRIÇÃO MICROPETROGRÁFICA
■ PONTO DESERTO COM AMOSTRA ENCAMINHADA PARA ANÁLISE QUÍMICA
DF PONTOS DESERTOS POR ROLANDO PELAGE
GR GIL FRANCISCO PIETZONI JUNIOR
JC JOÃO CARLOS BONDI
JP JOÃO BATISTA FORTES

OBS: São plotados neste mapa também os pontos das fases anteriores.
(GEODÔMIA E POTENCIAL ECONÔMICO DA ÁREA CAPIVARI-PARDO E VERIFICAÇÃO DE ANOMALIAS GEODÔMICAS DA ÁREA CAPIVARI-PARDO).

POSIÇÃO DA FOLHA

AP(4)	AP(4)
PARADA	Cidade
Município	UF
EXCELENTINA	SC
RECANTO	SC
DATA:	06/09/00
ALHO/00	BR
TIPO:	L 27.000

ANEXO - 04

MINEROPAR

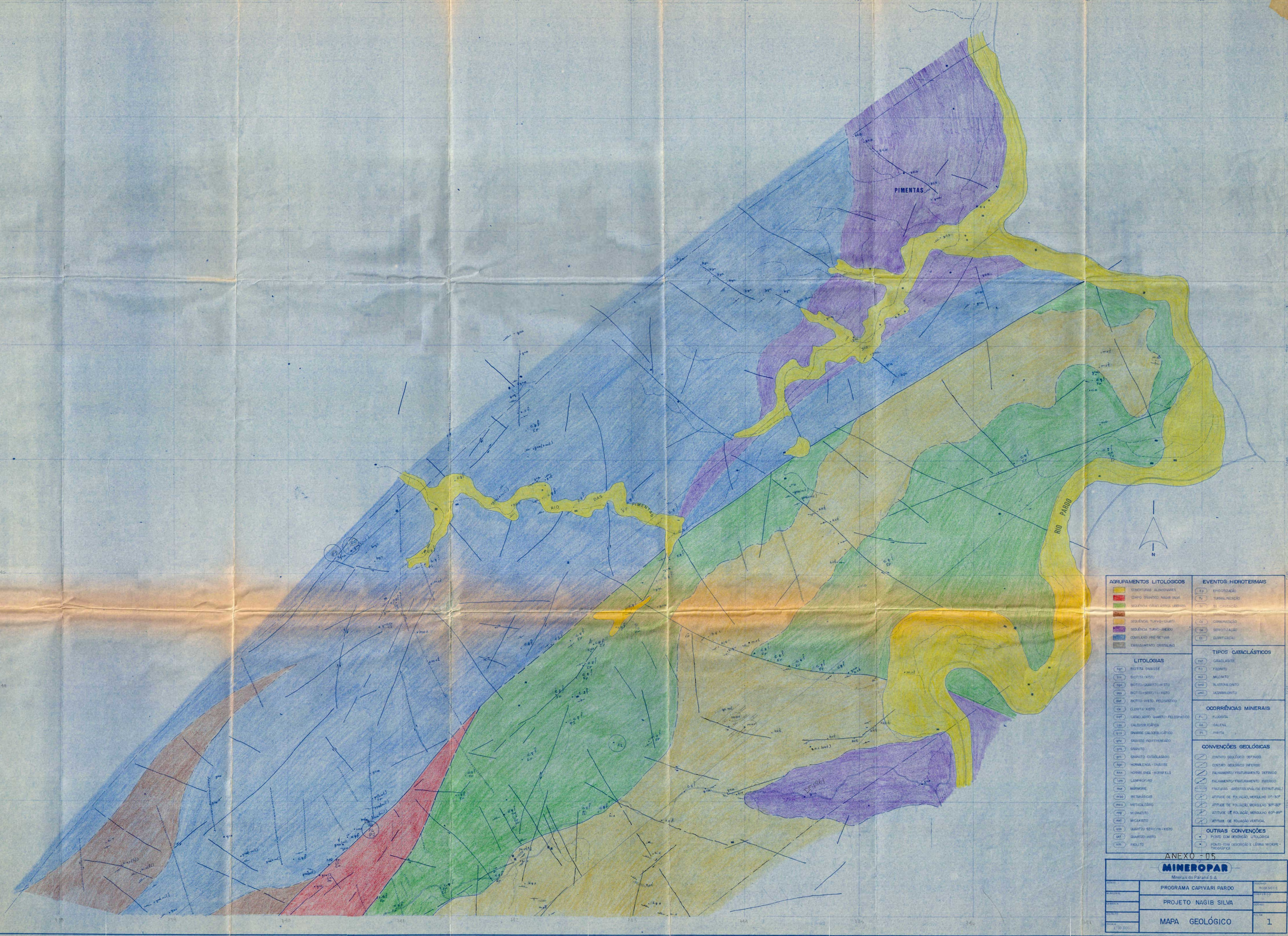
Minérios do Paraná S.A.

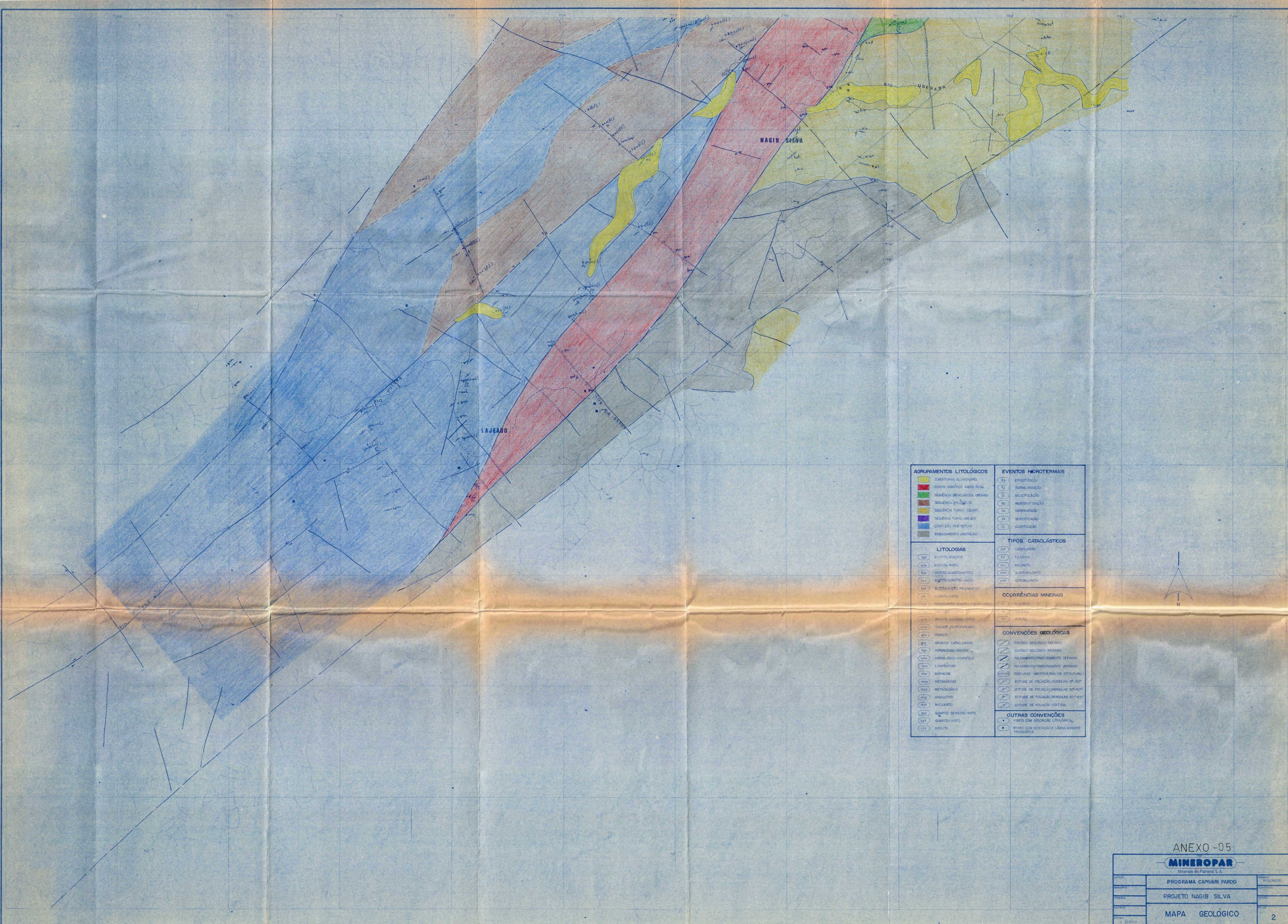
GERÊNCIA DE OPERAÇÕES - GEOP

PROGRAMA CAPIVARI PARDO

PROJETO NAGIB SILVA
MAPA DE PONTOS GEOLÓGICO

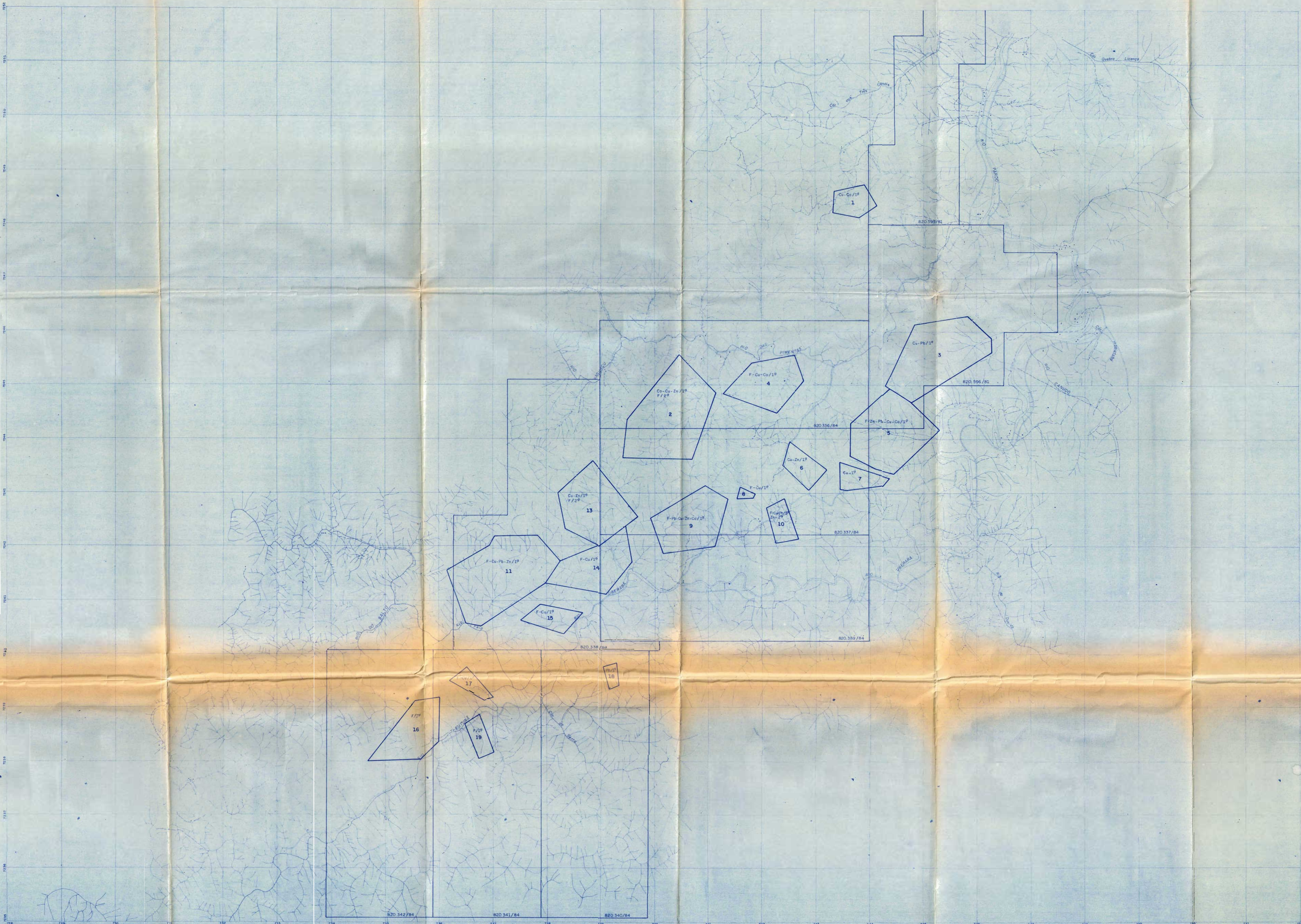
05 - MAPA GEOLÓGICO - ESC. 1:10.000 (1 e 2#)





06 - MAPA DE INTEGRAÇÃO DAS BACIAS ANÔMALAS

ESC. 1:25.000



ANEXO - 06

ESCALA GRÁFICA	
0	250 500 750 1000 1250 1500 1750 2000 2250 2500 m

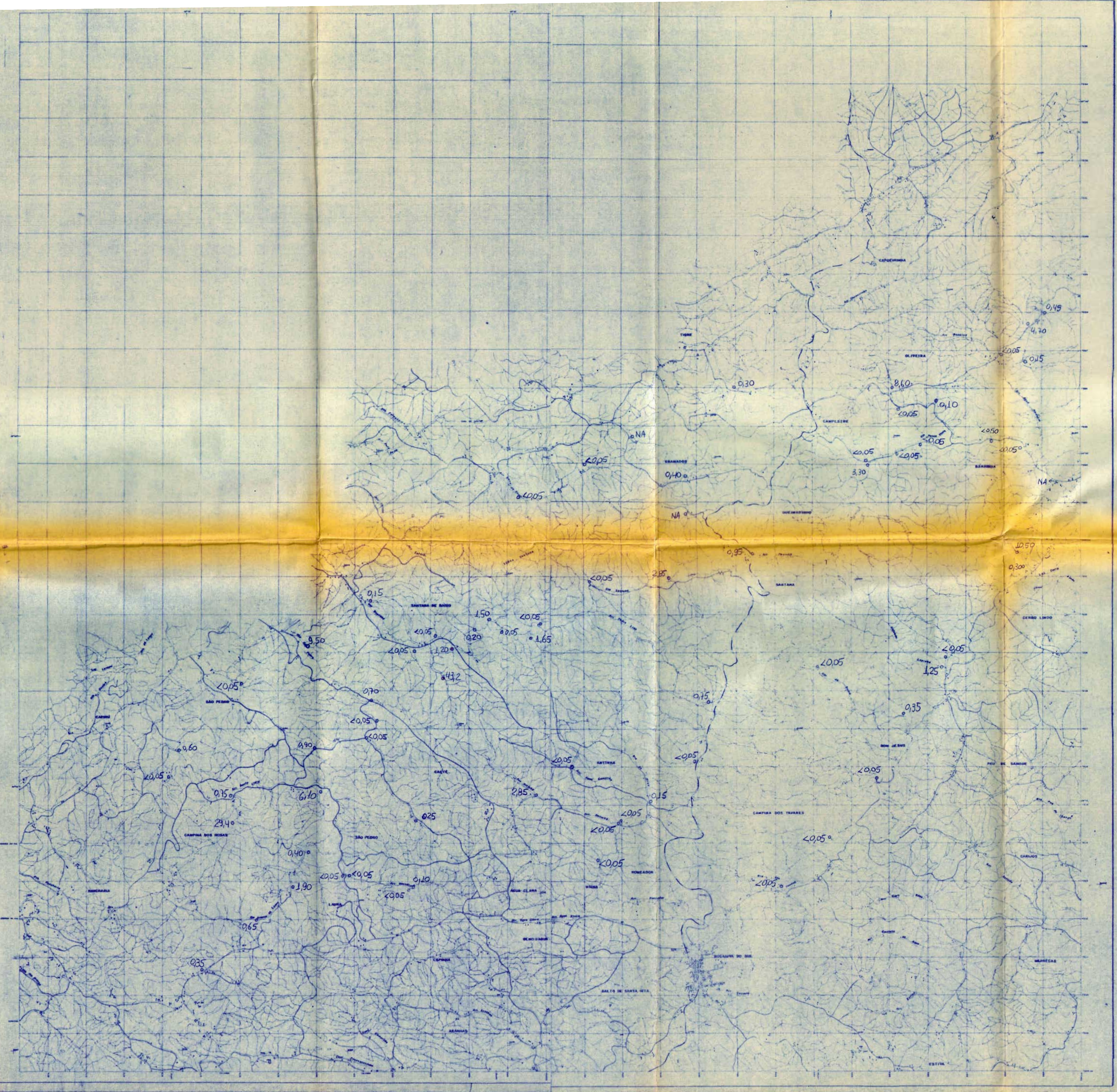
NORTE	
N NE NO L ^{NE} W V	A DECLINAÇÃO CHESE 97,00

CONVENÇÕES TOPOGRÁFICAS	
DRENAGEM ESTRADA CAMINHO COSTA	CONTOUR DA ÁREA ANOMALIA (o número identifica-a no relatório) ELEMENTO ANÔMALO / ORDEM DA ANOMALIA ÁREA REQUERIDA

CONVENÇÕES GEOLÓGICAS	
820.341/84	820.340/84

POSIÇÃO DA FOLHA	
APAI	APAI

MINEROPAR	
Minérios do Paraná S.A.	GERÊNCIA DE OPERAÇÕES - GEOP
Município: Fazenda: Pecúnia: Área: Altura:	Local: Município: Programa: Local: Altura:
820.341/84	MAPA SÍNTESE DAS ÁREAS ANOMALAS
820.340/84	1:25.000



LEGENDA

5 - TEOR - (ppm)

* QUANTIDADE DE AMOSTRA INSUFICIENTE PARA ANÁLISE

NA - NÃO AMOSTRADO

CB

Au

MINEROPAR	Minerais do Paraná S.A.
PROSPEÇÃO GEOQUÍMICA REGIONAL - ÁREA DO ANTICLINAL SETIBA	
CONCENTRADO DE BATEIA - MAPA DE DISTRIBUIÇÃO DO Au	
SITIO: MARCOS V. RAMOS	DESENHO: DATA: SET/81
ESCALA: 1:50.000	COORDENADAS:

